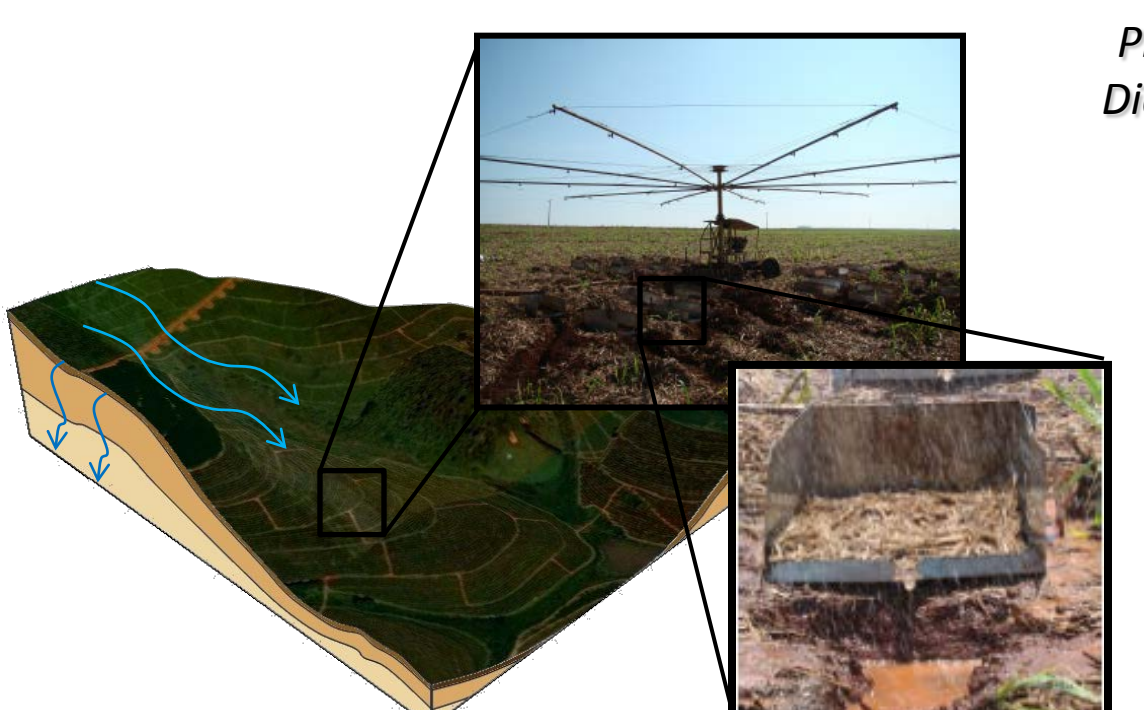
Faculdade de Ciências Agrárias e Veterinárias

Sistematização e Conservação do Solo e da Água em Cana de Açúcar:

"Hidrologia: Infiltração de Água no Solo"



Prof. Dr. Marcilio Vieira Martins Filho Diagramação: Dr. Diego Silva Siqueira

GRUPO DE PESQUISA

Caracterização do Solo para
Fins de Manejo Específico



Como está a taxa de conversão conhecimento-inovação?



Int. Comm. Heat Mass Transfer, Vol. 28, No. 7, pp. 963–972. 2001

Copyright © 2001 Elsevier Science Ltd

Printed in the USA. All rights reserved

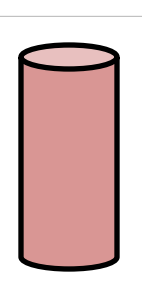
0735-1933/01/\$-see front matter

PH: S0735-1933(01)00300-1

UNSTEADY HEAT CONDUCTION IN 3D ELLIPTICAL CYLINDERS

M.S. Ferreira and J.I. Yanagihara Department of Mechanical Engineering Polytechnic School – University of São Paulo São Paulo, SP 05508-900, Brazil

(Communicated by J.P. Hartnett and W.J. Minkowycz)





Como está a taxa de conversão conhecimento-inovação?



Pergamon

Int. Comm. Heat Mass Transfer, Vol. 28, No. 7, pp. 963–972. 2001

Copyright © 2001 Elsevier Science Ltd

Printed in the USA. All rights reserved

0735-1933/01/\$-see front matter

PH: 50735-1933(01)00300-1

UNSTEADY HEAT CONDUCTION IN 3D ELLIPTICAL CYLIND

M.S. Ferreira and J.I. Yanagihara Department of Mechanical Engineering Polytechnic Supplementary of São Paulo São Paulo P 05508-900, Brazil

(Communicated by J.F.

rtnett and W.J. Minkowycz)

8 anos depois...

tions in Heat and Mass Transfer 36 (2009) 718-724

onte liste que ilable et Cajance Direct

International Communications in Heat and Mass Transfer

journal homepage: www.elsevier.com/locate/jchmt

A transient three-dimensional heat transfer model of the human body

M.S. Ferreira a, J.I. Yanagihara b,*

a Department of Mechanical Engineering, FEI (Fundação Educacional Inaciana), São Bernardo do Campo, Brazil

Department of Mechanical Engineering, Polytechnic School, University of São Paulo, Av. Prof. Mello Moraes, 2231, 05508-900, São Paulo, SP, Brazil

ARTICLE INFO

Available online 16 April 2009

Keywords: Human body thermal model Human thermal system Bio-heat transfer Thermoregulation ABSTRACT

The objective of this work is to develop an improved model of the human thermal system. The features included are important to solve real problems: 3D heat conduction, the use of elliptical cylinders to adequately approximate body geometry, the careful representation of tissues and important organs, and the flexibility of the computational implementation. Focus is on the passive system, which is composed by 15 cylindrical elements and it intractive transfer between large arteries and veins. The results of thermal neutrality and transient simulation in excellent agreement with experimental data, indicating that the model represents adequately the best of the human thermal system.

© 2009 Elsevier Ltd. All right

3 anos depois...

Qual a diferença entre tecnologia e inovação?
"Tecnologia é um monte de dinheiro para gerar conhecimento e inovação é um monte de conhecimento para gerar dinheiro"

Diretor da 3M

Inauguração do Centro de Engenharia de Conforto em Aviões(CEC)





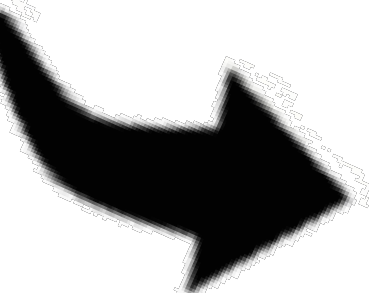
Como está a taxa de conversão conhecimento-inovação?



| | Ideia → conhecimento → tecnologia Qual a diferença entre tecnologia e inovação?
"Tecnologia é um monte de dinheiro para gerar conhecimento e inovação é um monte de conhecimento para gerar dinheiro"

Diretor da 3M

Soma de conhecimentos ->Inovação

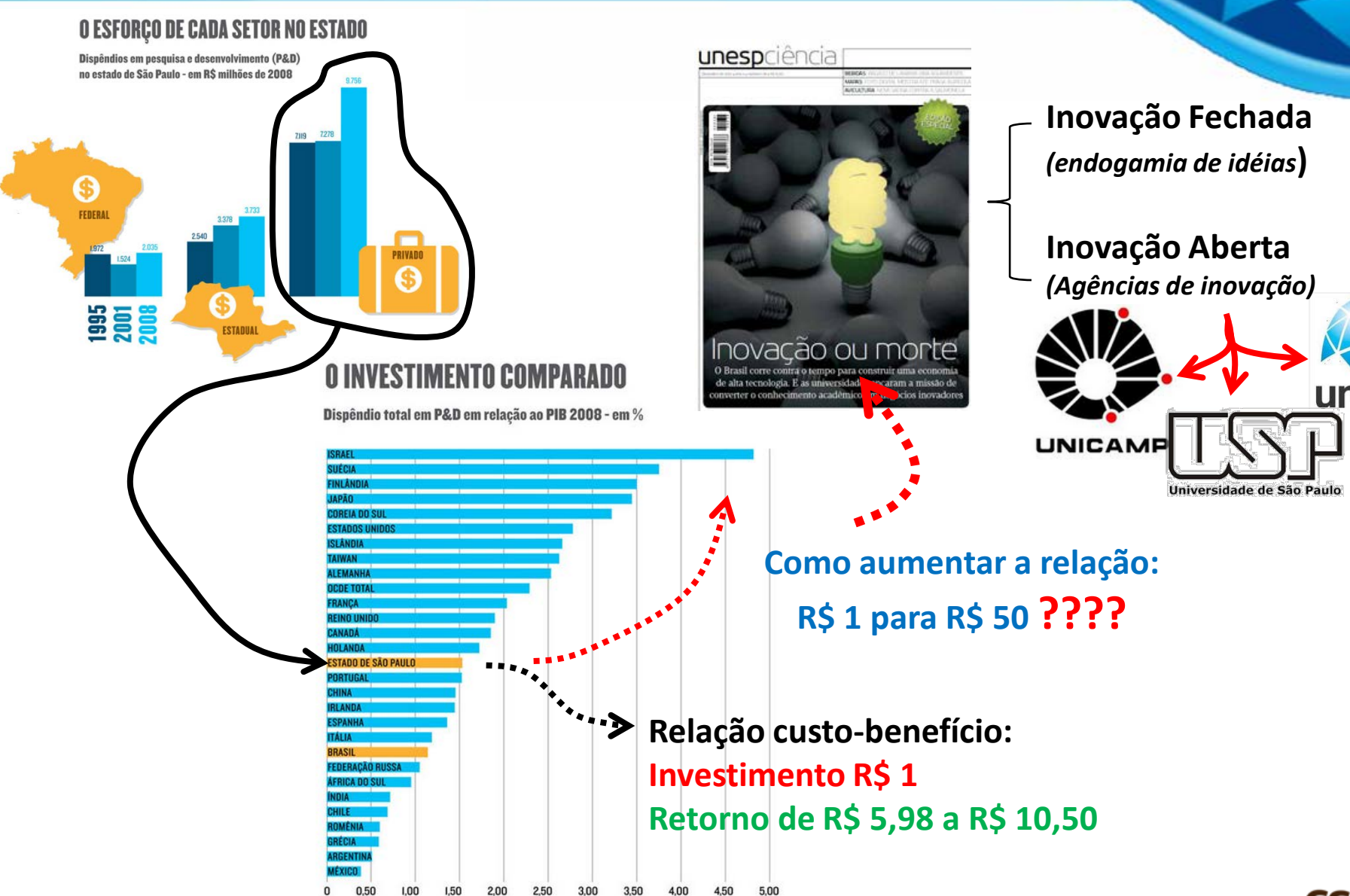


Condução de calor em cilindros -> conforto em cabines de avião 12 anos...

E no setor agricola, como está a taxa de conversão: conhecimento >Inovação?



Como está a taxa de conversão conhecimento-inovação?





Panorama da Ciência do Solo e área correlatas

Rio de Janeiro: Maria de Lourdes Mendonça Santos Brefin, Gustavo De Mattos Vasques (EMBRAPA/Solos). Minas Gerais: Fabricio da Silva Terra (Universidade Federal dos Vales do Jeoutinhonha e Mucuri, UFVJMI, Elpidio Filho



Panorama da Ciência do Solo e área correlatas



Panorama da Ciência do Solo e área correlatas

Cogeração de energia elétrica Vs Perda de Solo

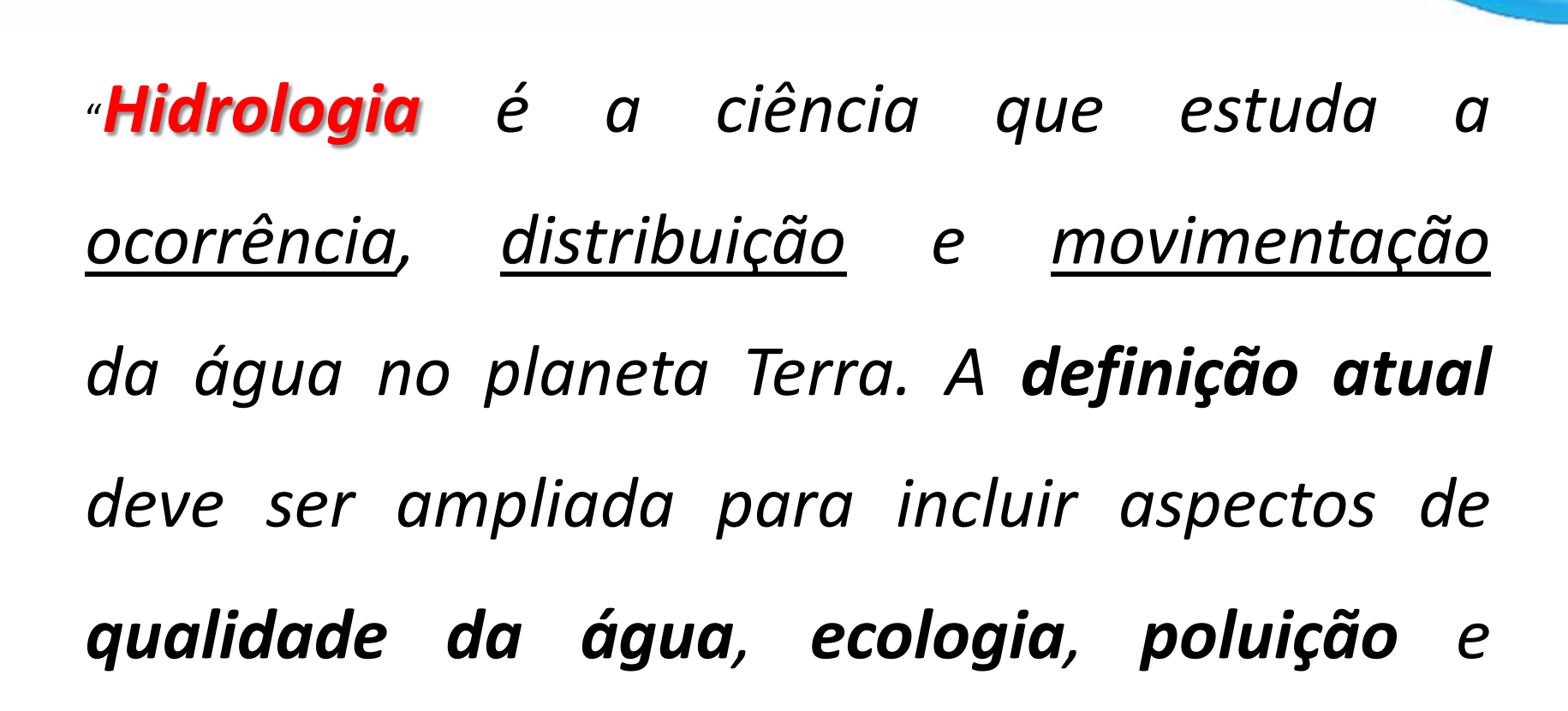


Panorama da Ciência do Solo e área correlatas



Hidrologia: conceitos e pesquisa básica

descontaminação"





Hidrologia: conceitos e pesquisa básica



"Hidrologia é a ciência que estuda a ocorrência, distribuição e movimentação da água no planeta Terra. A definição atual deve ser ampliada para incluir aspectos de qualidade da água, ecologia, poluição e descontaminação"



Hidrologia: conceitos e pesquisa básica





Hidrologia: conceitos e pesquisa básica



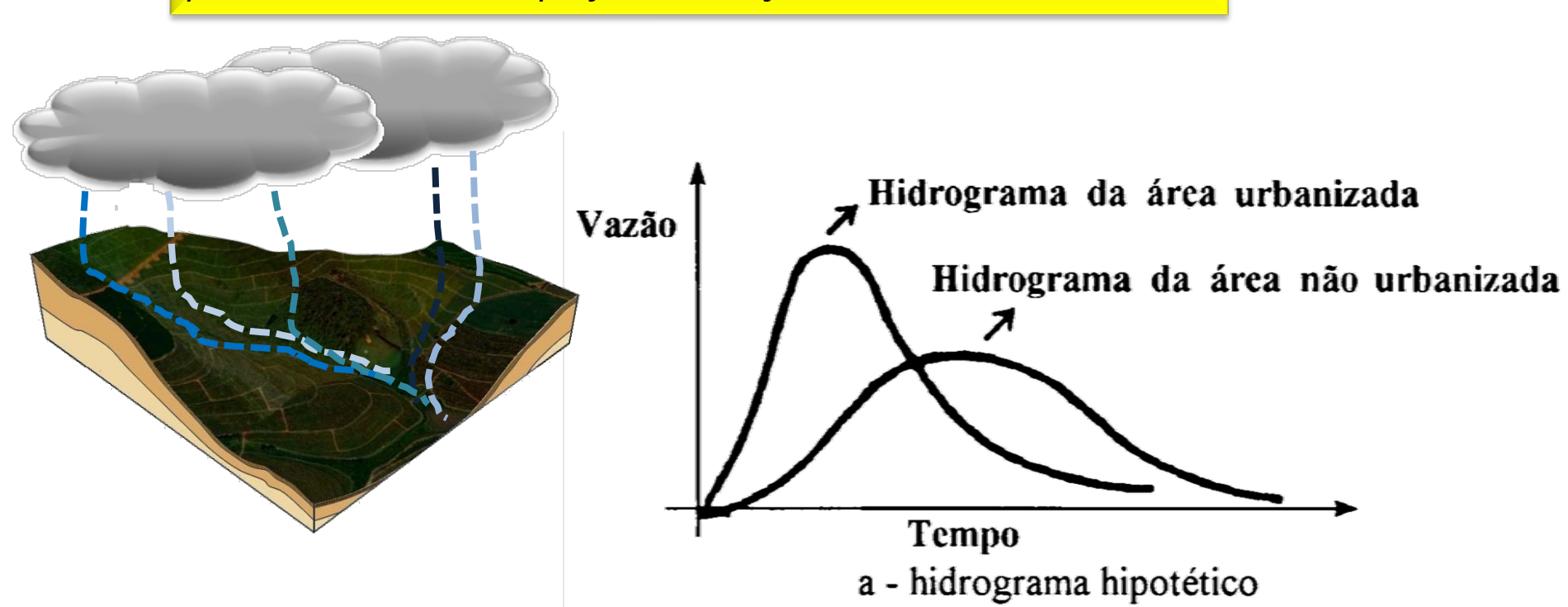


Hidrologia: conceitos e pesquisa básica

Escoamento Superficial e Infiltração

Tempo de Concentração (Tc)

"Tempo necessário para que toda a área da bacia contribua para o escoamento superficial na seção de saída"



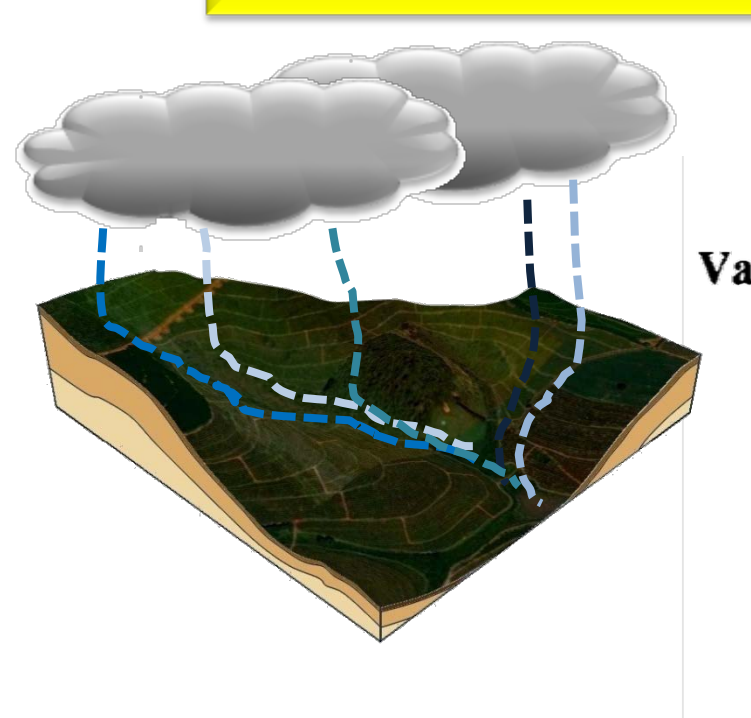


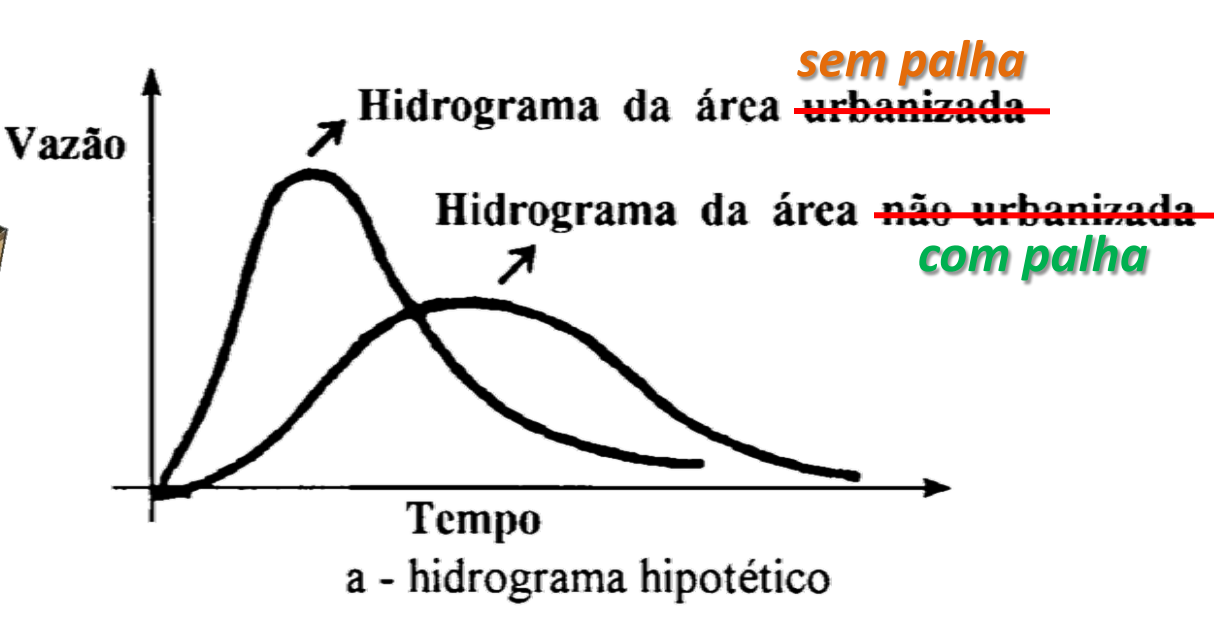
Hidrologia: conceitos e pesquisa básica

Escoamento Superficial e Infiltração

Tempo de Concentração (Tc)

"Tempo necessário para que toda a área da bacia contribua para o escoamento superficial na seção de saída"

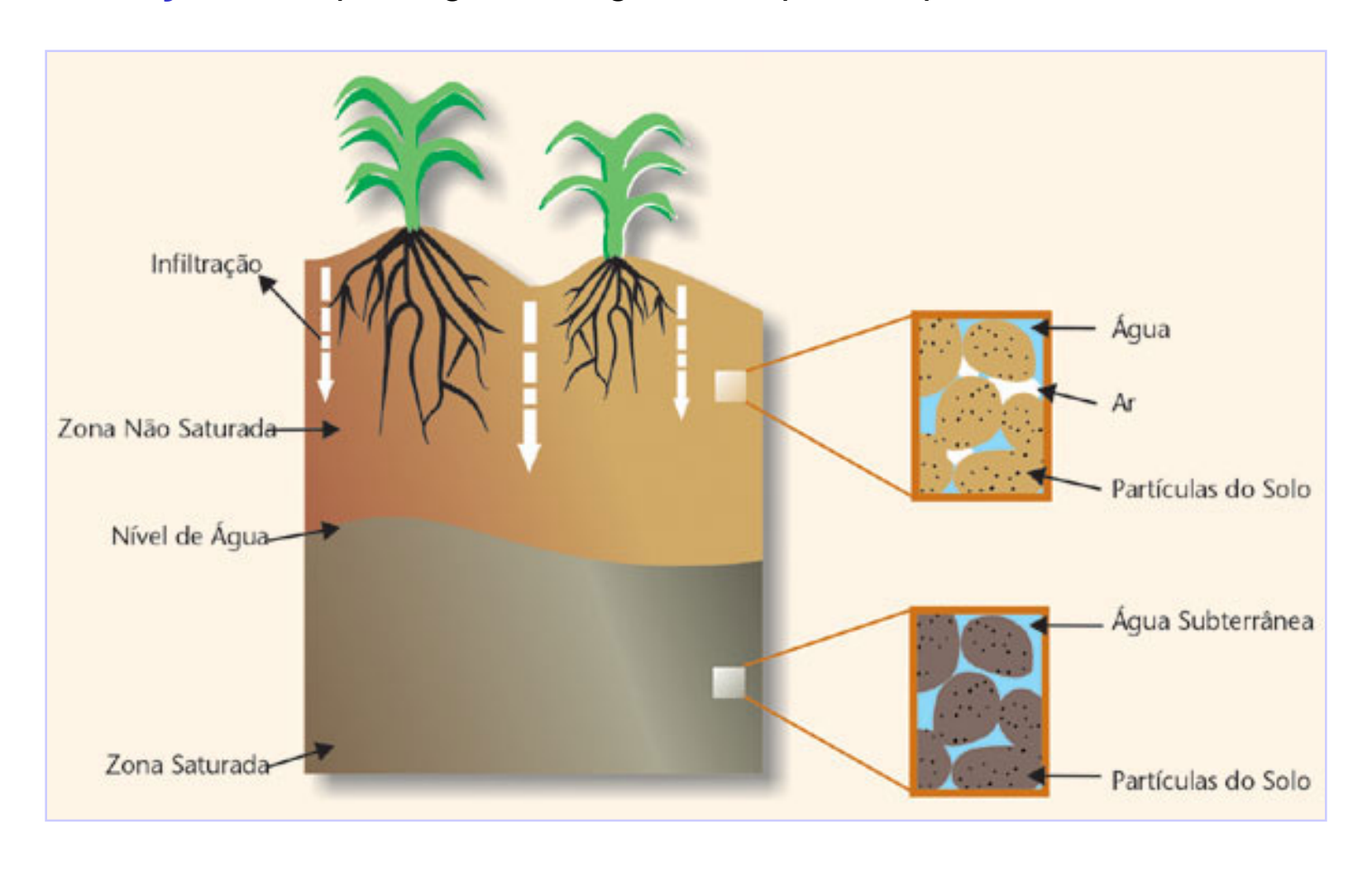




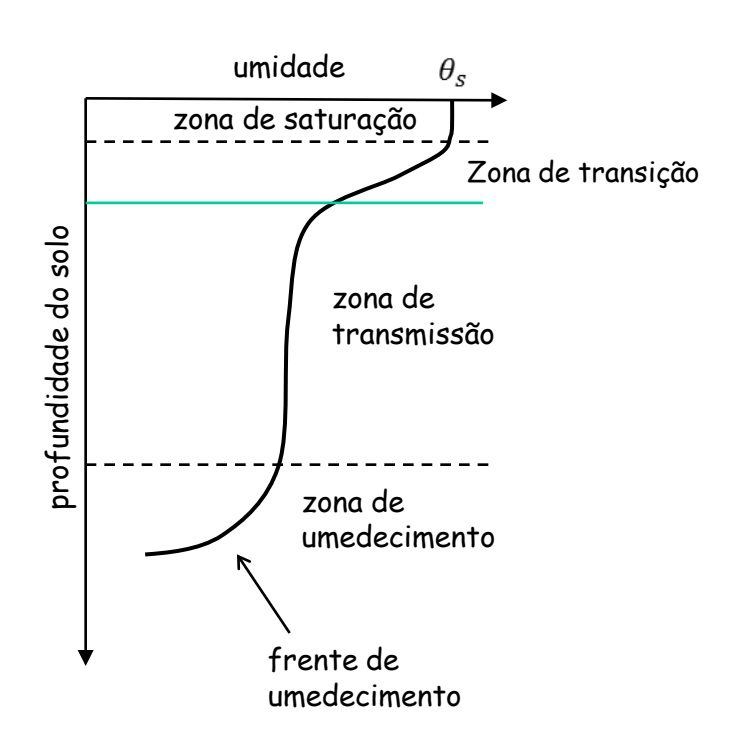


Processo de Infiltração

Infiltração: é a passagem de água da superfície para o interior do solo



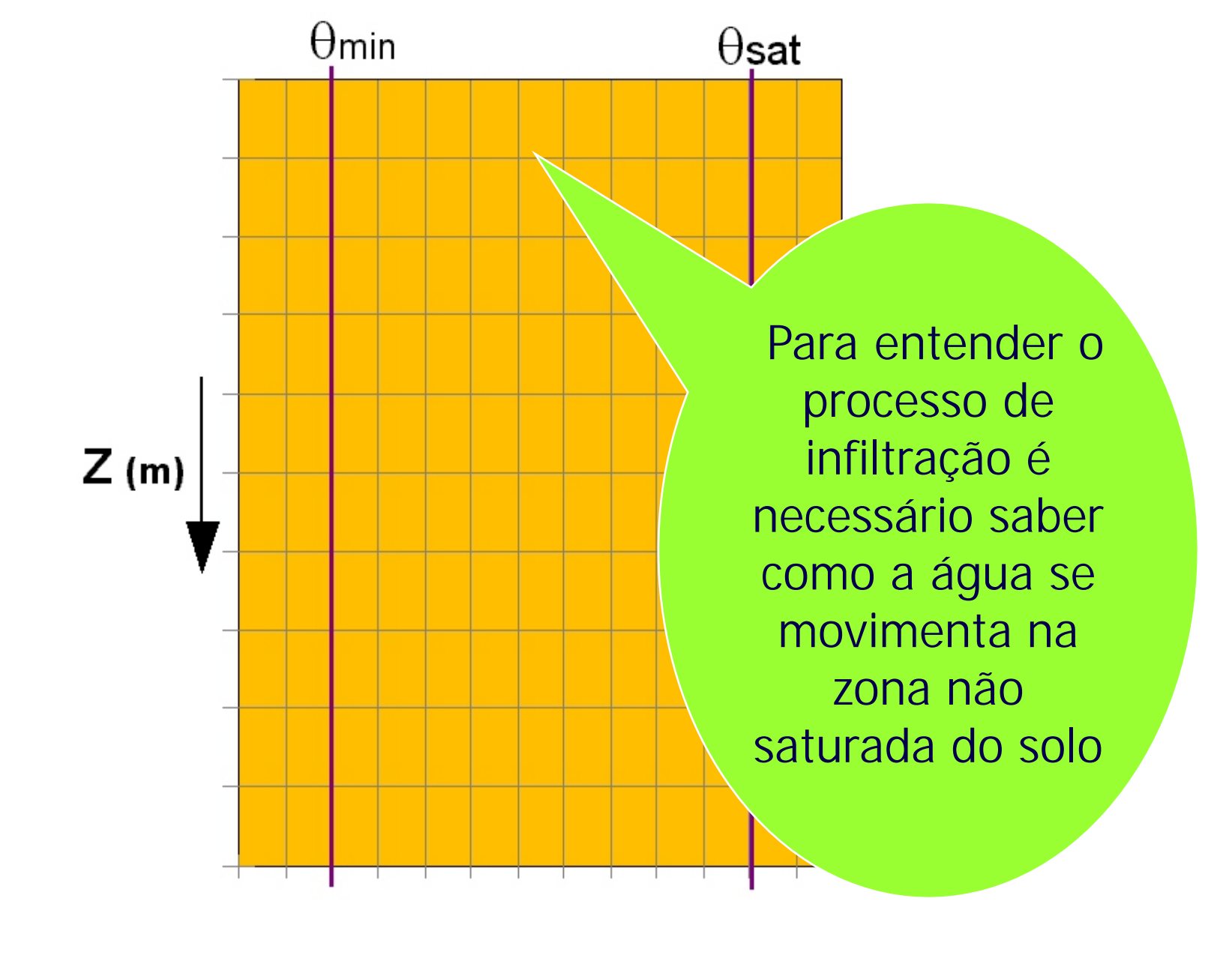
Processo de Infiltração

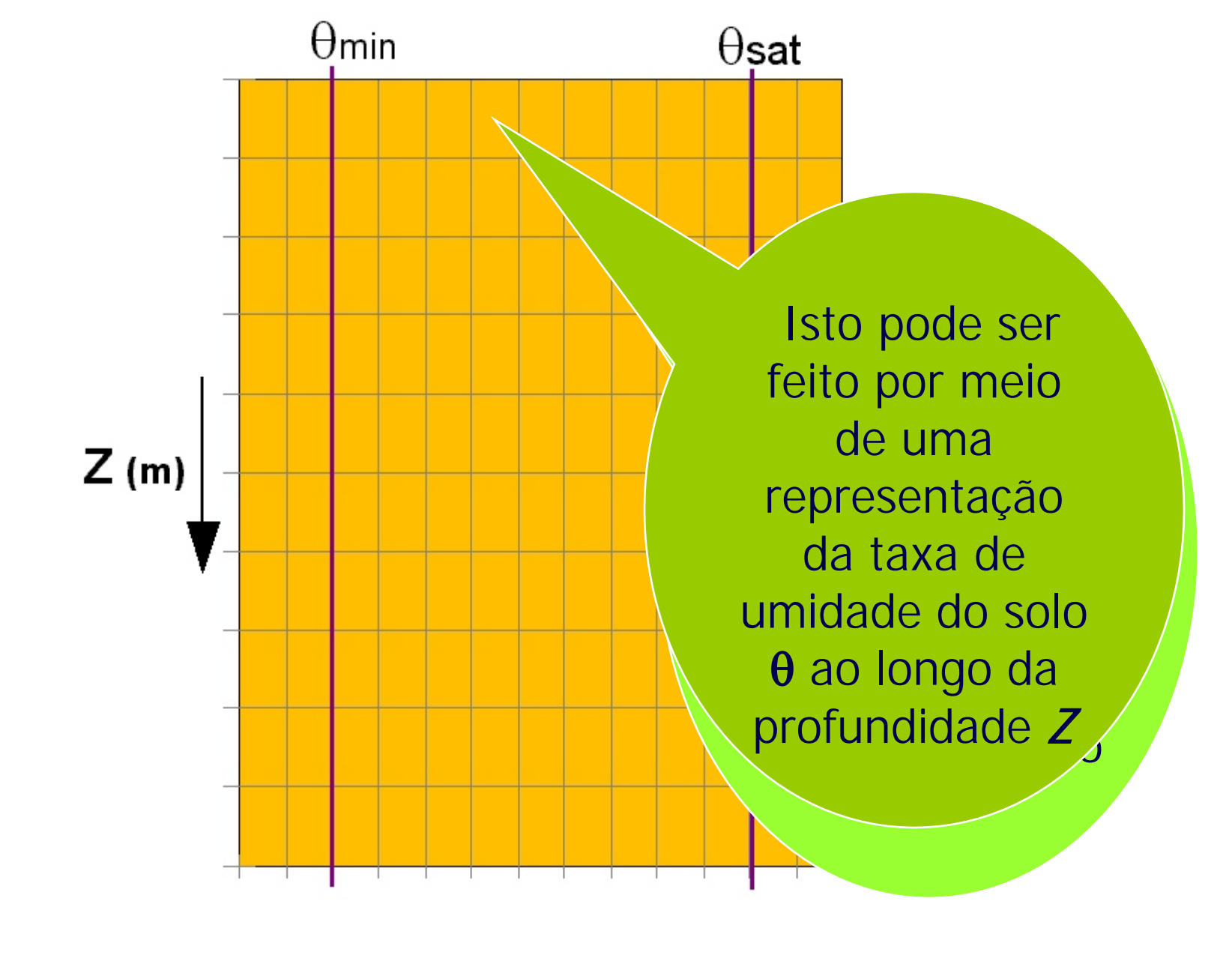


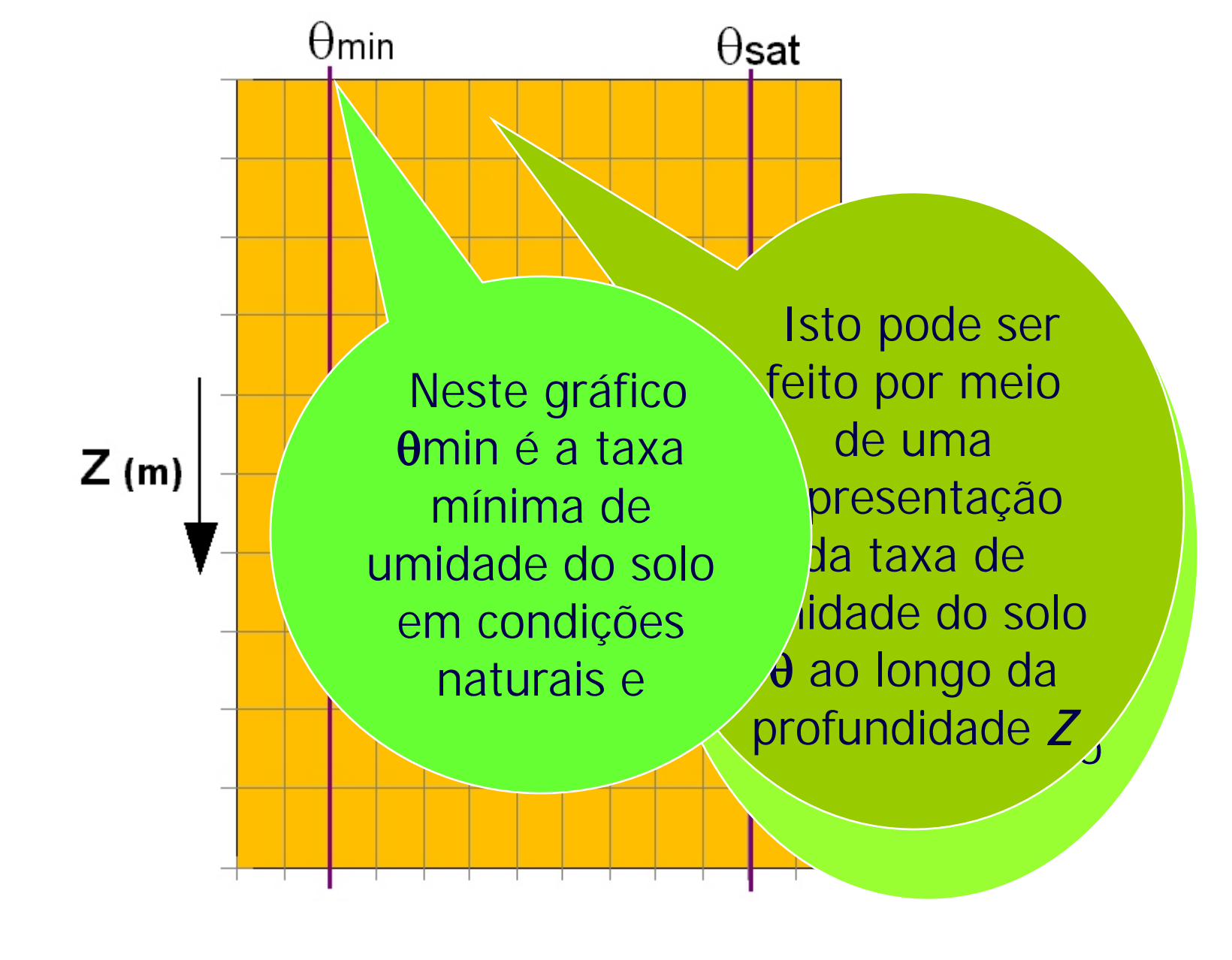
A umidade varia com a profundidade a medida que a água vai preenchendo os espaços porosos do solo.

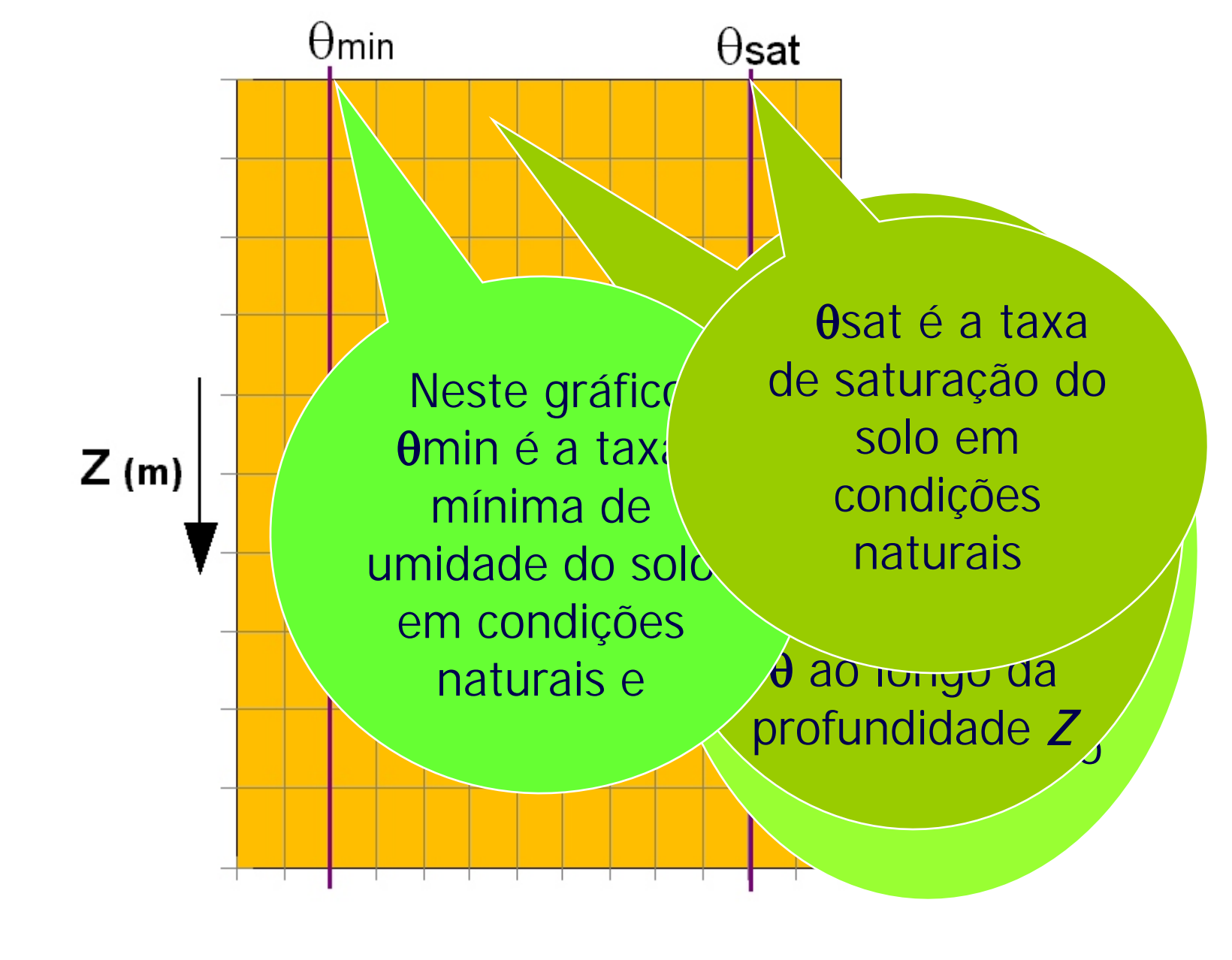
A medida que o tempo passa, aumenta-se a zona de transmissão e portanto a profundidade da área de umedecimento.

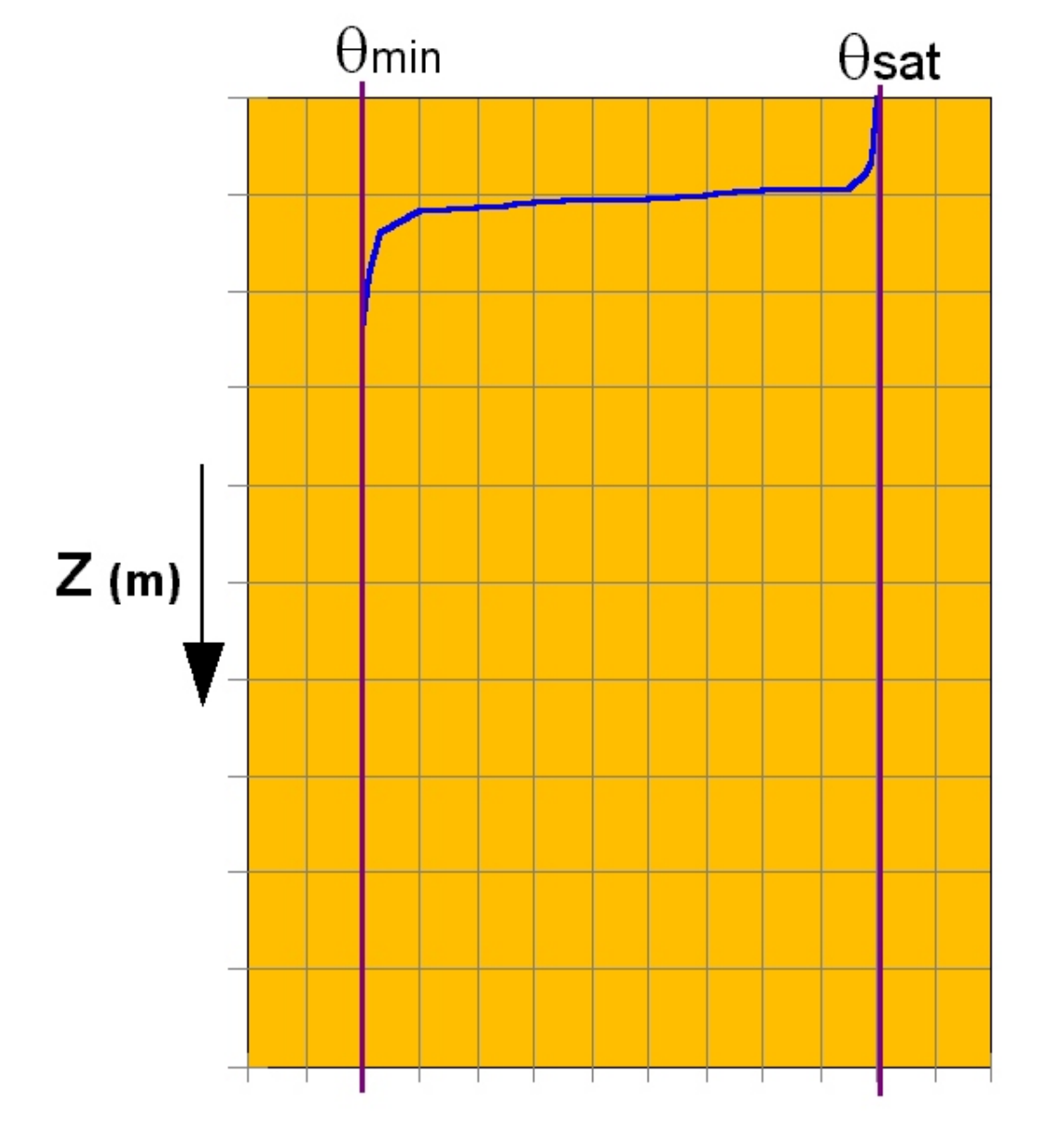
Perfil de umidade durante a infiltração

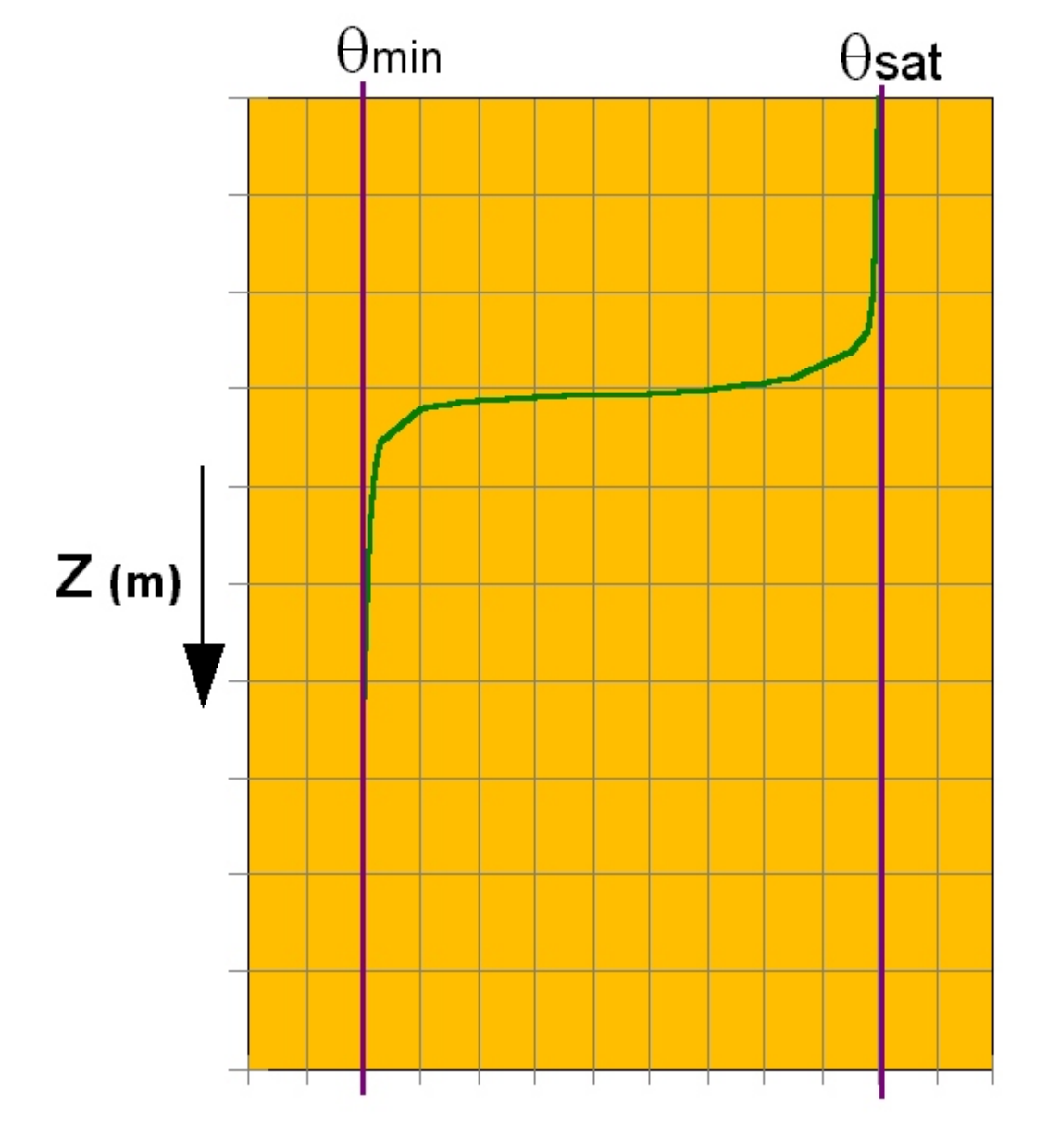


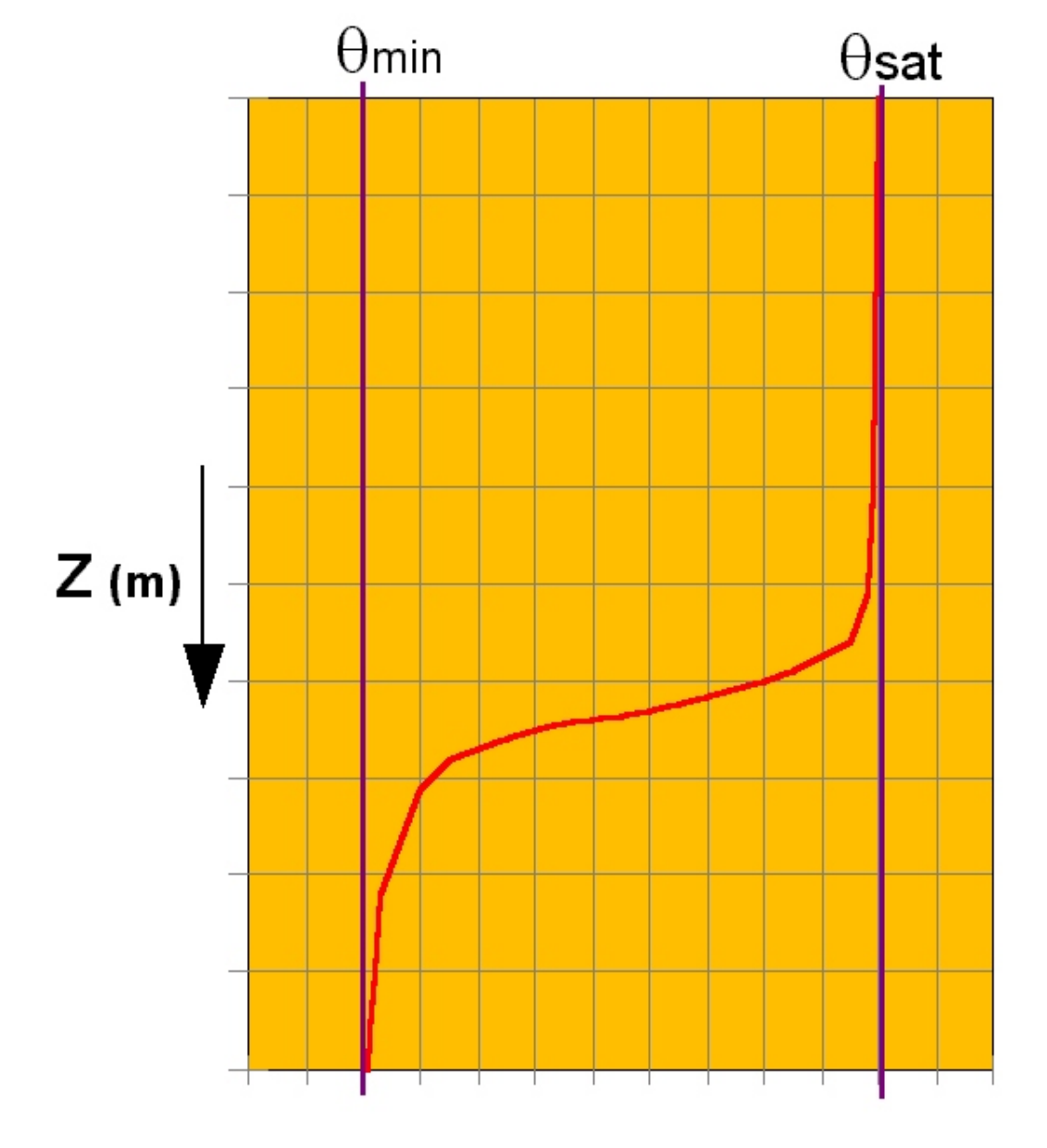




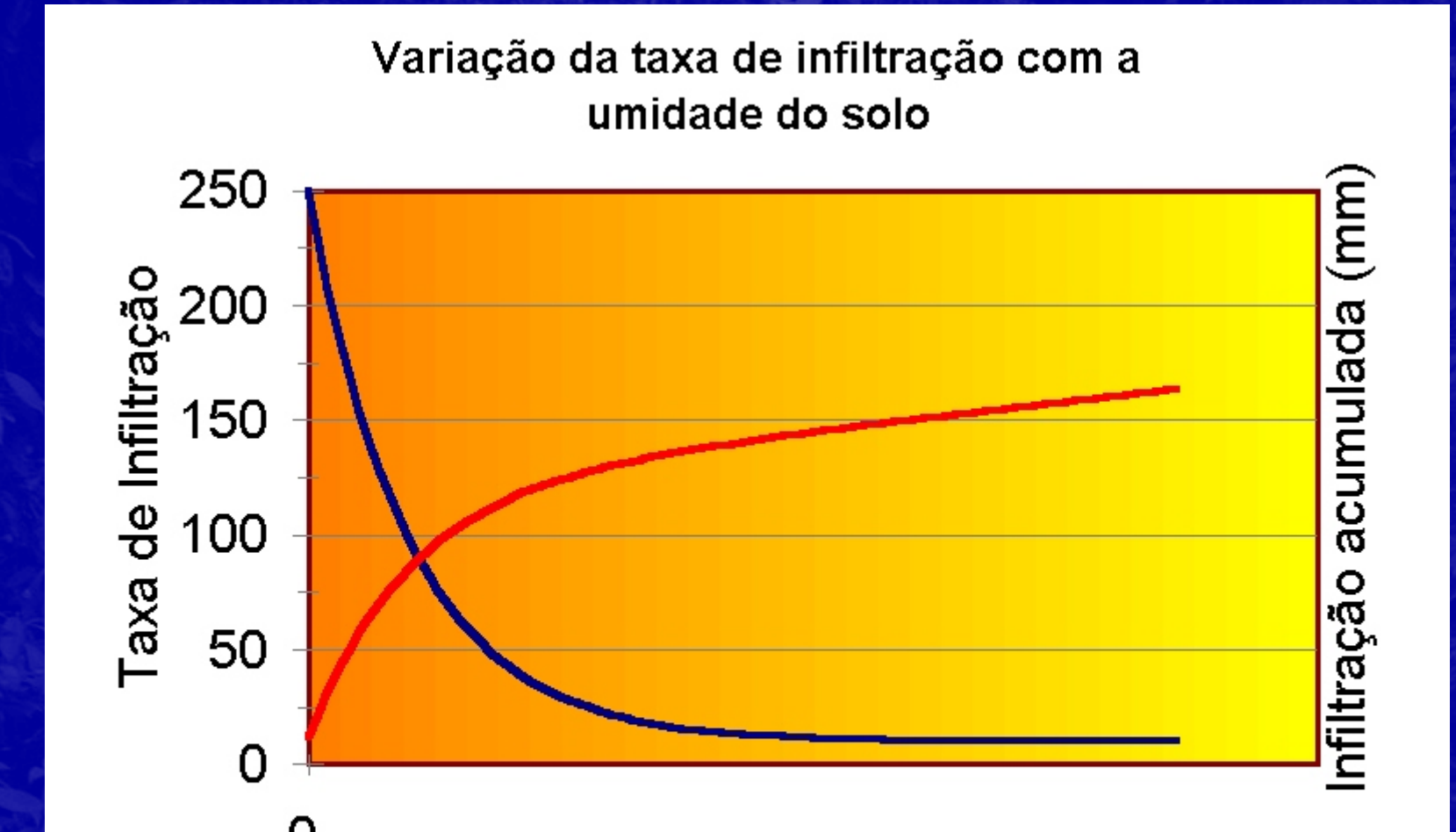






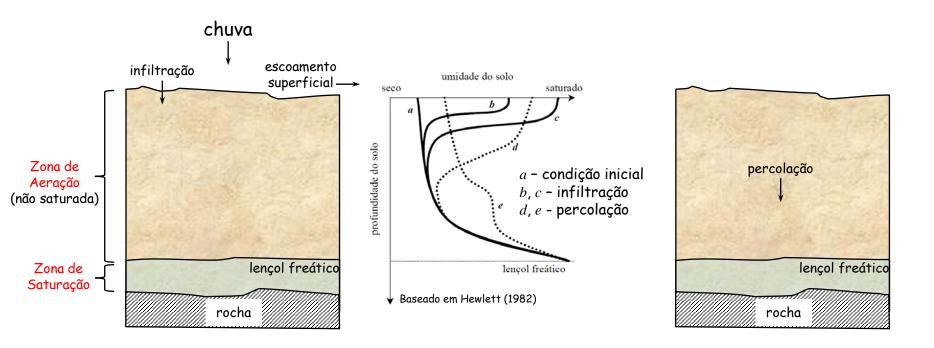






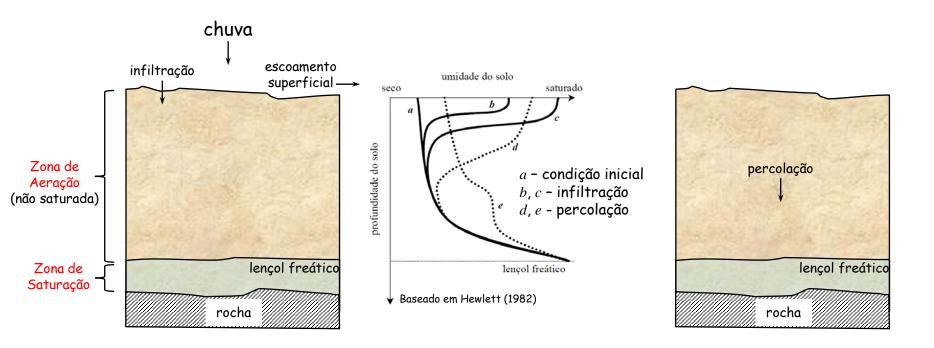
Umidade do solo (%)

Infiltração



Infiltração é o processo de passagem da água pela superfície do solo. Percolação é o avanço descendente da água na zona não saturada.

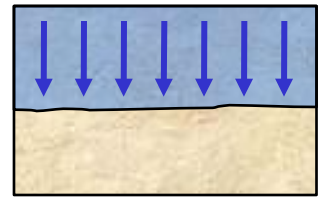
Infiltração



Infiltração é o processo de passagem da água pela superfície do solo. Percolação é o avanço descendente da água na zona não saturada.

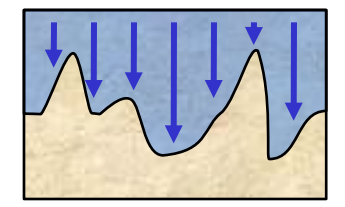
Frente de Umedecimento

Frente uniforme



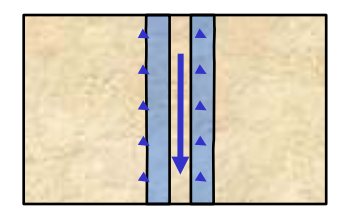
Solos permeáveis bem agregados

Frente heterogênea



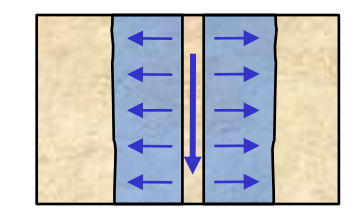
Solos heterogêneos

Frente lateral em macroporos com pouca interação



Solo com macroporos com pouca permeabilidade

Frente lateral em macroporos com alta interação



Solos com macroporos com muita permeabilidade







Etapas da Infiltração

- Considerando-se uma condição inicial não saturada, a infiltração é função dos potenciais matricial e gravitacional.
- Inicialmente, o potencial matricial domina o processo succionando a água para dentro do perfil. Com a redistribuição da água ao longo do perfil do solo, a umidade tende a aumentar e este potencial perde progressivamente sua importância.
- Próximo à saturação, o potencial gravitacional torna-se predominante.
- Caso a intensidade de chuva ultrapasse a capacidade de infiltração, ocorre o escoamento superficial por excesso de precipitação.
- O empoçamento da água cria uma lâmina de água à superfície que passa a exercer uma pressão adicional (potencial de carga) importante no processo de infiltração.

Fatores que afetam a Infiltração

Textura e estrutura do solo: porosidade, densidade e compactação do solo maior quantidade de poros grandes \rightarrow maior infiltração maior compactação \rightarrow maior densidade \rightarrow menor infiltração

Condição antecedente de umidade do solo mais úmido → menor infiltração

Atividade biológica e matéria orgânica mais matéria orgânica o melhor estruturado é o solo o maior infiltração

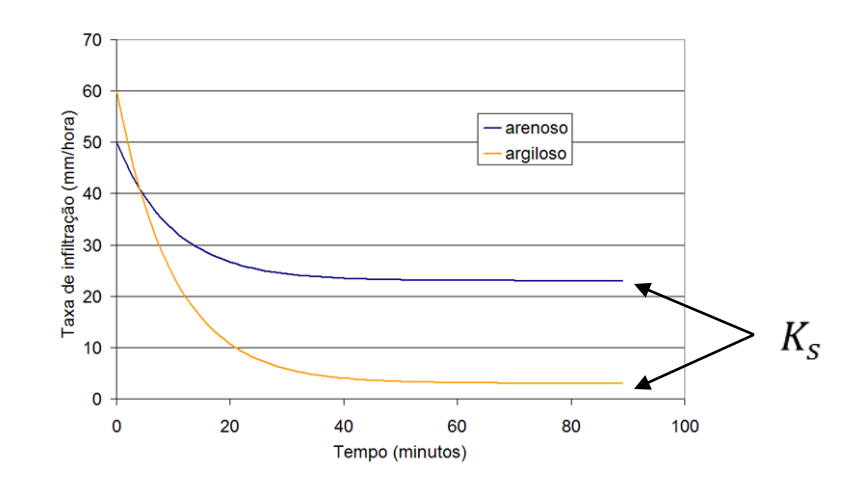
Presença de cobertura morta e vegetação menor cobertura → maior desagregação das partículas → menor infiltração

Outros: hidrofobia do solo, congelamento superficial

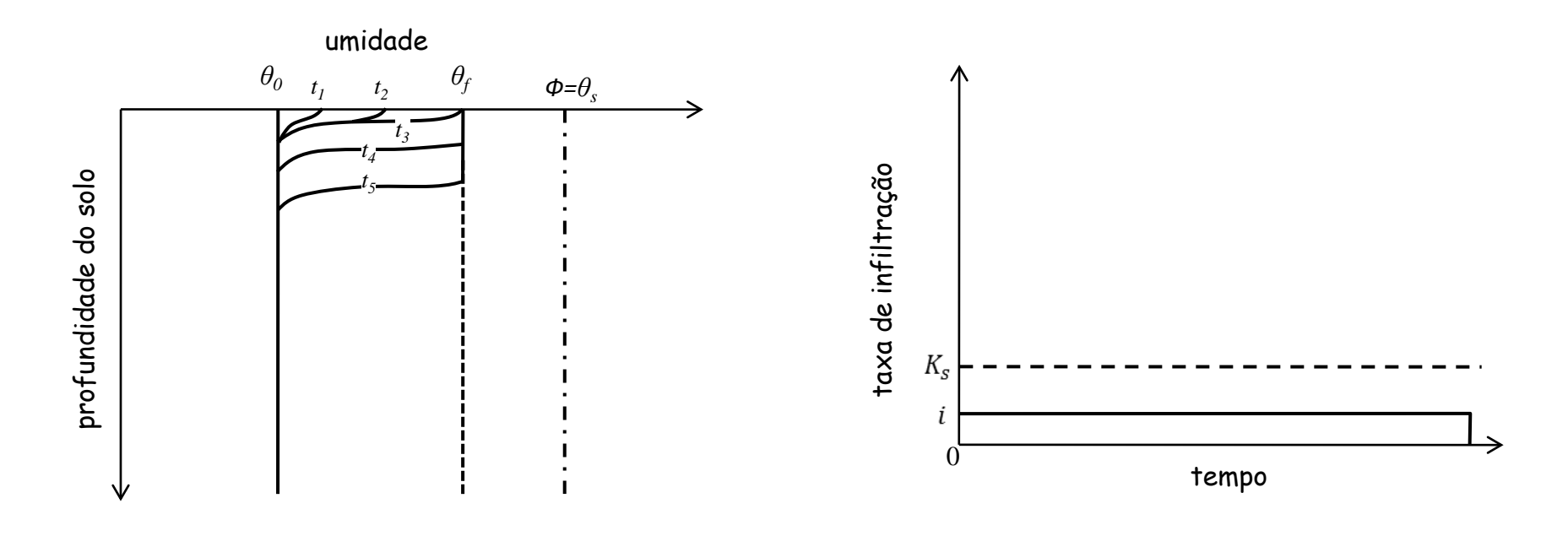
Taxa e Capacidade de Infiltração

Taxa de infiltração: é a taxa na qual a água penetra no solo, expressa em termos de lâmina, ou seja, cm/h, mm/s, etc. Esta taxa é limitada pela capacidade de infiltração do solo e pela intensidade da chuva. É o volume de água que penetra no perfil do solo expresso por unidade de área, por unidade de tempo.

Capacidade de infiltração: é a taxa máxima na qual a água consegue se infiltrar no solo sob condições ideais.



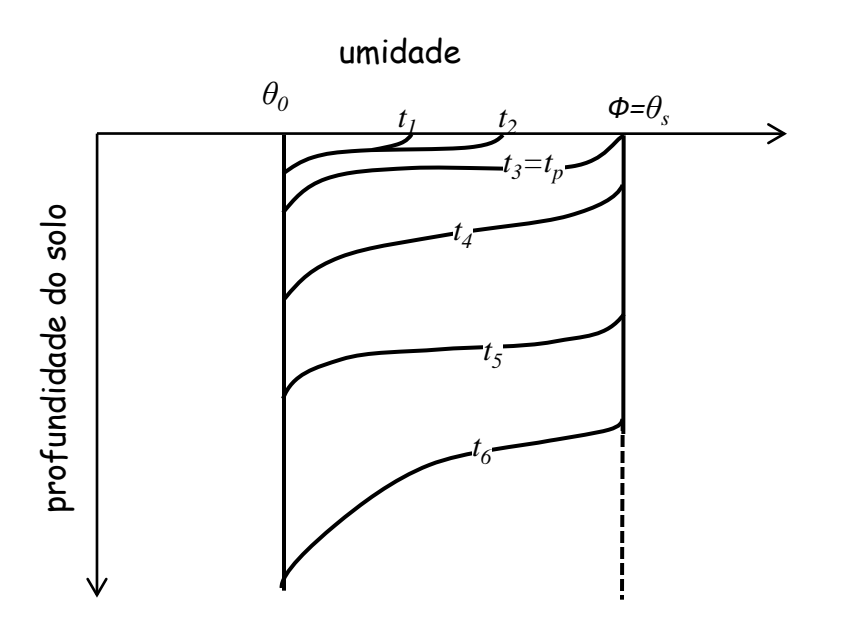
Infiltração sem encharcamento

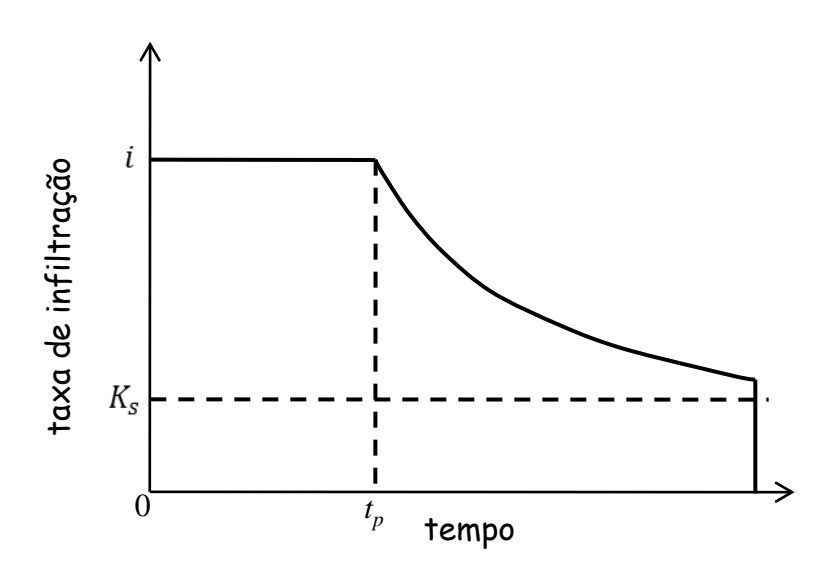


Ocorre quando a intensidade da precipitação (i) é menor do que a condutividade hidráulica considerando uma condição de saturação (K_s).

A umidade final não atinge a condição de saturação ($\theta_f < \theta_s$)

Infiltração com encharcamento (Horton)



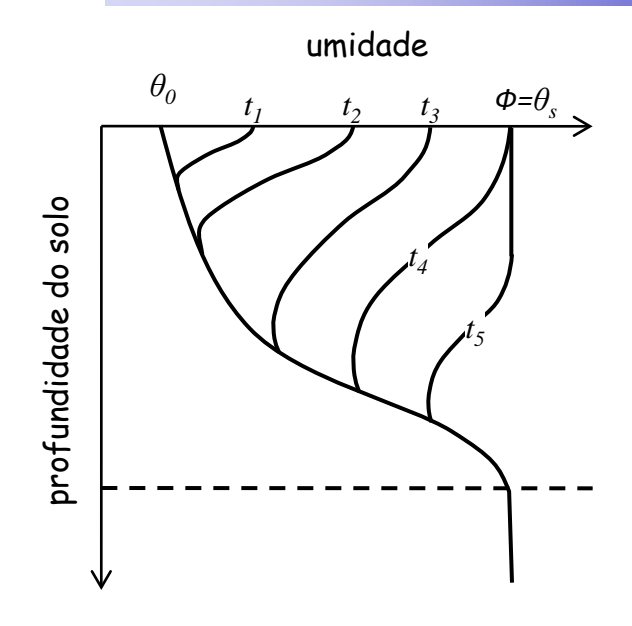


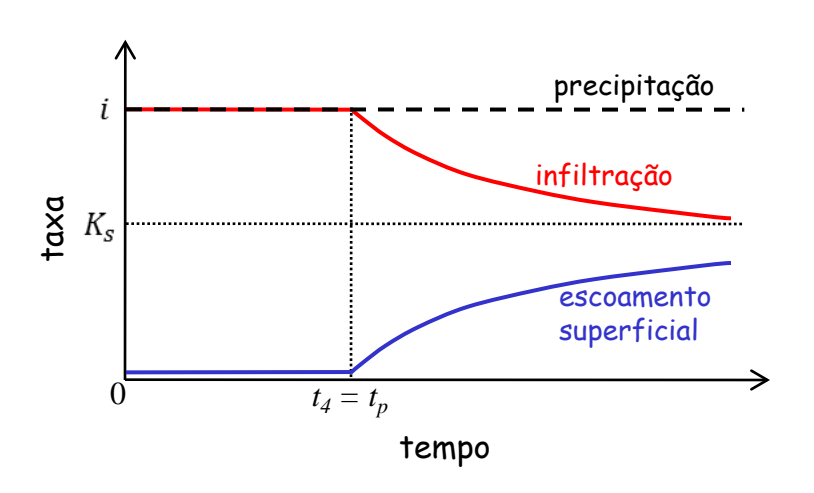
Ocorre quando a intensidade da precipitação (i) é maior do que a condutividade hidráulica considerando uma condição de saturação (K_s).

A umidade final atinge a condição de saturação no tempo t_p

A taxa de infiltração decai até atingir valores próximos a K_s

Infiltração x Escoamento Superficial





Considerando um solo cuja superfície está seca (condição inicial – t_0) e uma chuva cuja intensidade é constante i:

O potencial matricial (sucção) é muito negativo na superfície gerando gradientes de potencial total muito baixos

A capacidade de infiltração é alta

Toda a precipitação transforma-se em infiltração

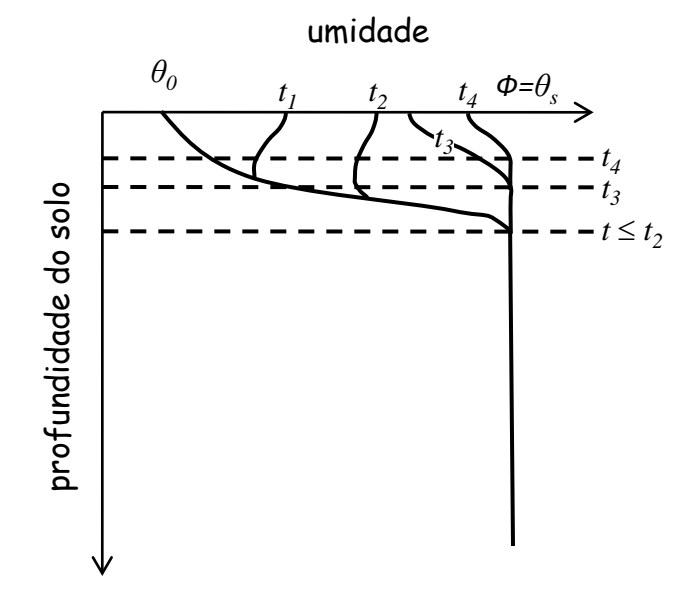
A medida que a água se distribui ao longo do perfil:

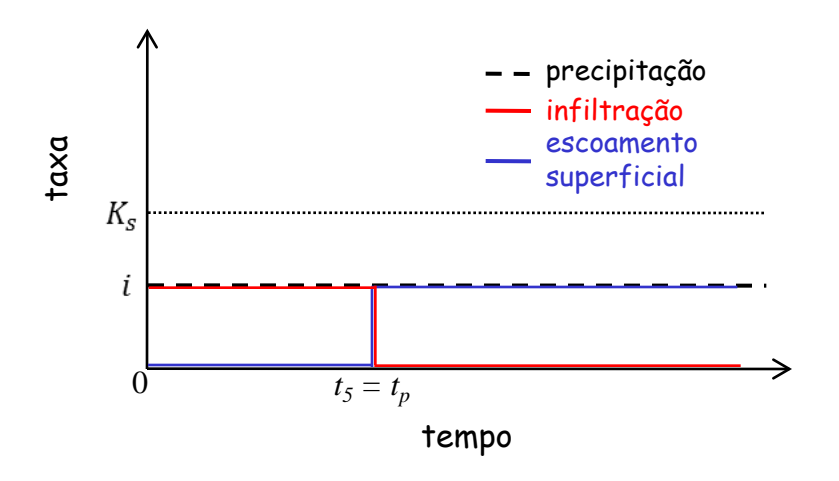
O potencial matricial torna-se menos negativo e a taxa de infiltração diminui

Há saturação da camada superficial

A precipitação em excesso origina escoamento superficial (Horton)

Infiltração x Escoamento Superficial





Com o lençol freático próximo a superfície:

Um pequeno volume de água infiltra e rapidamente o solo se torna completamente saturado (elevação do lençol freático)

Com a saturação, a infiltração é interrompida

Toda a precipitação transforma-se em escoamento direto (Dunne)

Ocorre geralmente nas áreas de várzea e áreas com topografia convergente ("grotas")

Está relacionado com o conceito de área de contribuição variável (áreas de escoamento direto)

Modelos de Infiltração

A estimativa da infiltração é feita através de equações baseadas em modelos físicos ou em relações empíricas.

Em geral baseiam-se em algumas das propriedades do solo e permitem a estimativa de infiltração a partir de poucas observações.

Green - Ampt (1911)

Equação de infiltração desenvolvida a partir de um modelo aproximado que se baseia na lei de Darcy

Foi desenvolvido quando há o empoçamento da água em solos profundos e homogêneos com conteúdo inicial de água com distribuição uniforme.

Horton (1940) e Philip (1957)

Equações de infiltração baseadas em soluções aproximadas da equação de Richards

Equação de Horton (1940)

Este modelo é aplicável somente quando a intensidade de precipitação (i) é superior a condutividade hidráulica em condição de saturação (K_S)

Foi deduzido a partir da equação de Richards considerando constantes os valores de difusividade hidráulica e a condutividade hidráulica, chegando-se a seguinte relação:

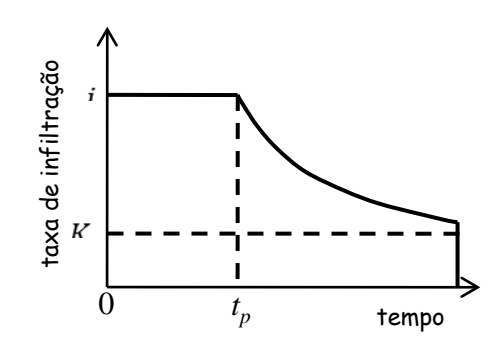
$$f_c(t) = f_1 + (f_0 - f_1)e^{-kt}$$

 f_c é a capacidade de infiltração

 f_0 é a capacidade de infiltração inicial

 f_1 é a capacidade de infiltração final ($\sim K_s$)

k é a constante de recessão



$$F_p = \frac{f_0 - i}{k} - \frac{f_1}{k} \ln \left(\frac{i - f_1}{f_0 - f_1} \right)$$

$$t_{p} = \frac{F_{p}}{i} = \frac{f_{0} - i}{ki} - \frac{f_{1}}{ki} \ln \left(\frac{i - f_{1}}{f_{0} - f_{1}} \right)$$

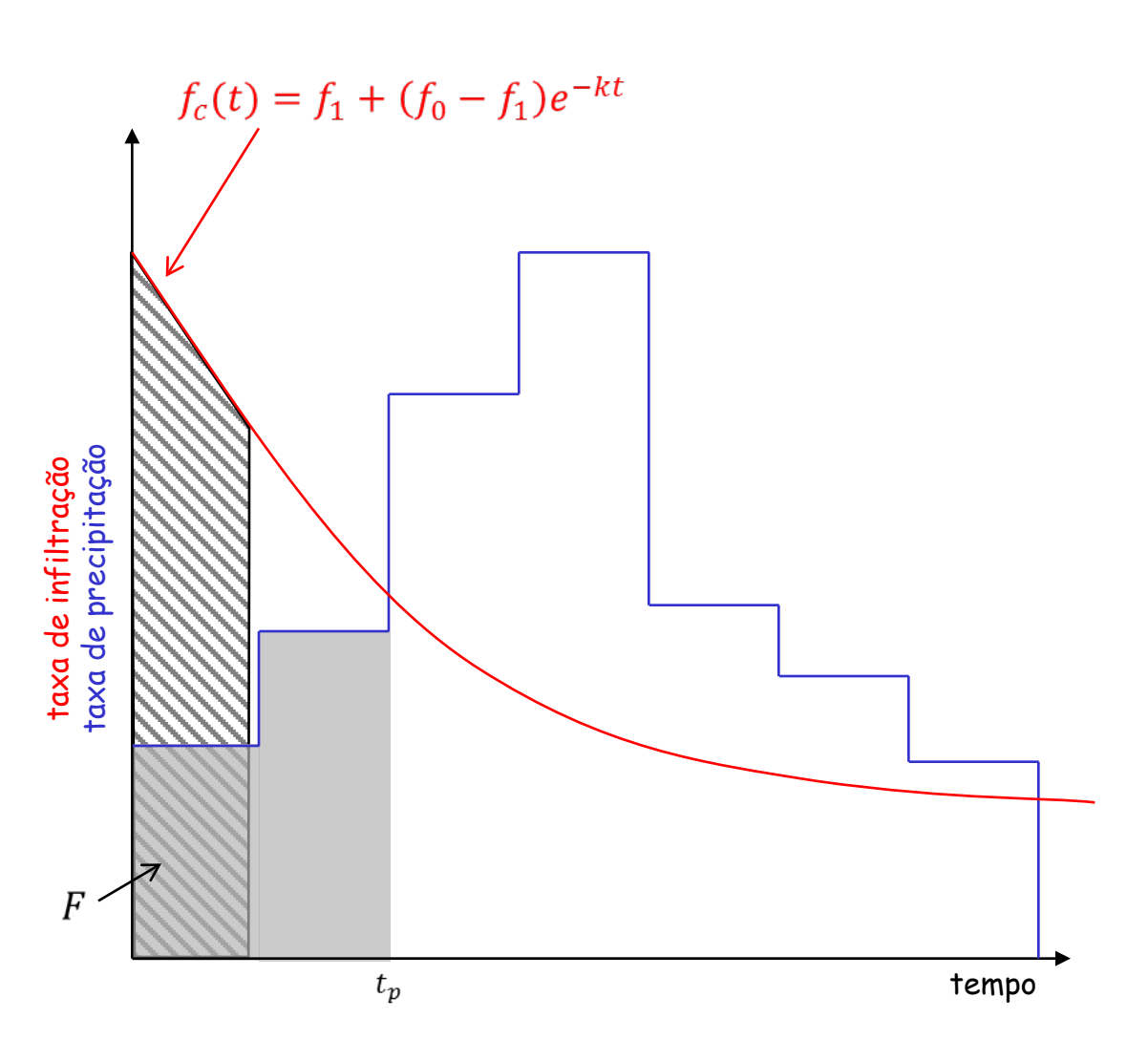
 ${\it F_p}$ é a infiltração acumulada até o empoçamento

 t_p é o tempo para o início do empoçamento

 ${\it F}$ é a infiltração acumulada após o empoçamento

$$F(t) = \int_{t_p}^{t} f_c(t)dt = f_1(t - t_p) + \frac{f_0 - f_1}{k} \left(1 - e^{-k(t - t_p)} \right)$$

Particionamento de Fluxo (Horton)

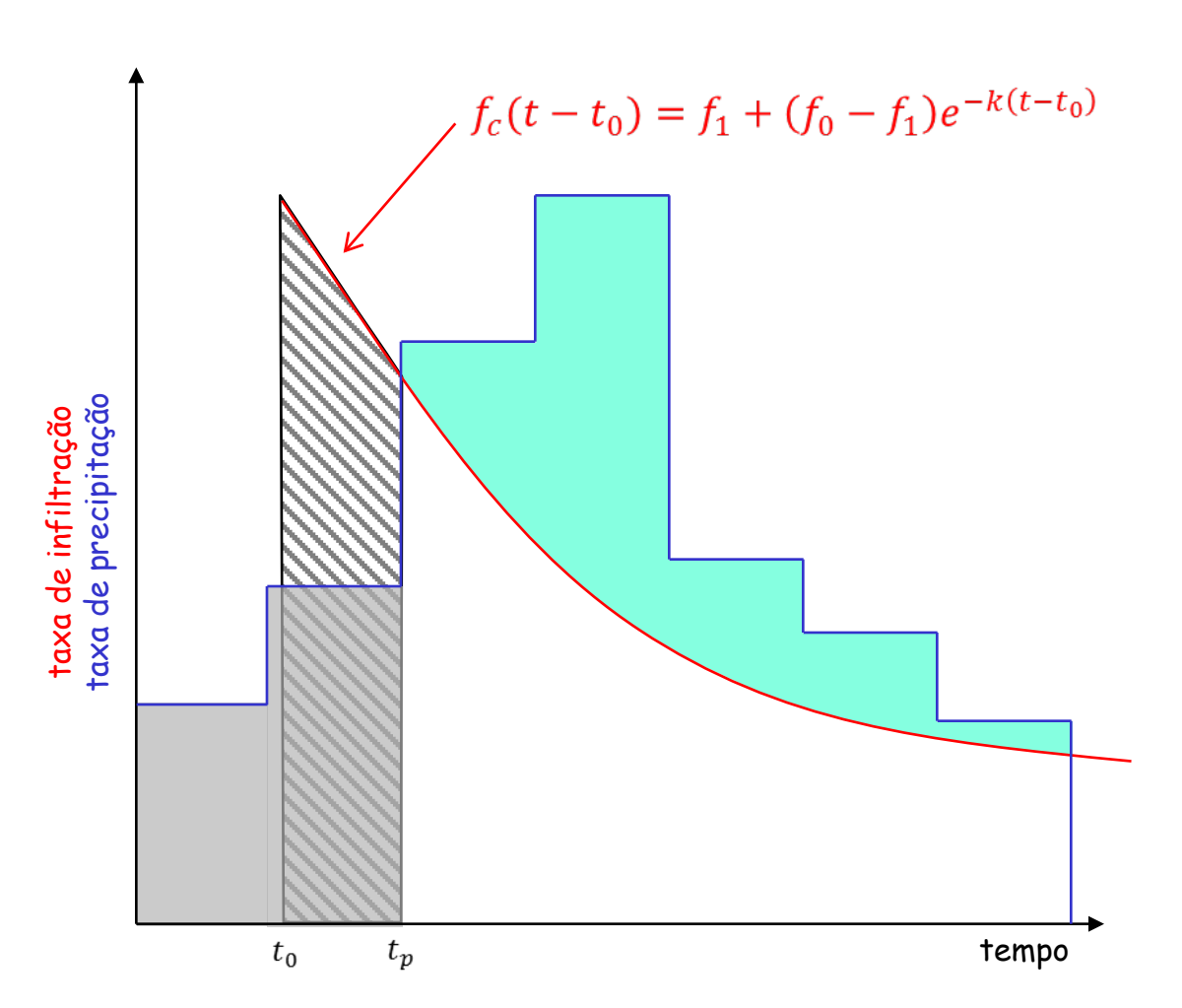


O processo de empoçamento inicia-se no tempo t_p

A lâmina de água infiltrada até este momento corresponde a área cinza (F)

Como esta área é menor do que a área sobre a curva de capacidade de infiltração (f_c) , esta função não pode ser diretamente empregada

Particionamento de Fluxo (Horton)



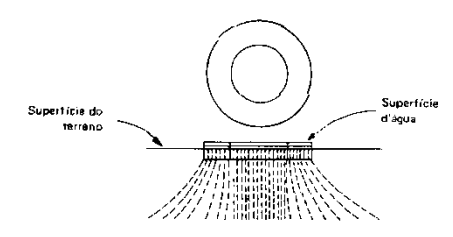
- O processo de empoçamento inicia-se no tempo t_p
- A lâmina de água infiltrada até este momento corresponde a área cinza (F)
- Como esta área é menor do que a área sobre a curva de capacidade de infiltração (f_c) , esta função não pode ser diretamente empregada
- Para contornar este problema, a curva $f_c(t)$ é deslocada no tempo de maneira a que a infiltração acumulada entre t_0 e t_p (área hachurada) seja igual a F.
- O escoamento está representado pela área entre $f_c(t-t_0)$ e a precipitação (área azul).

Medição da Infiltração

InfiltrômetrosSimplesDuplo Anel



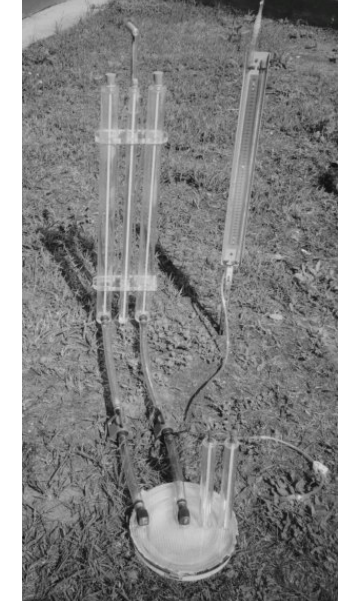




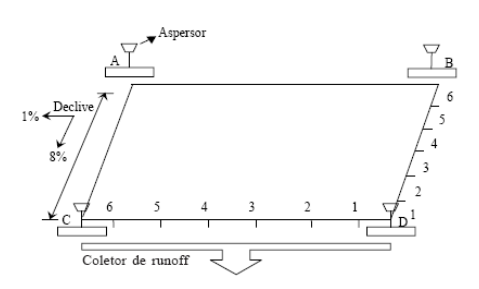
· Infiltrômetro de carga constante

· Infiltrômetros de tensão





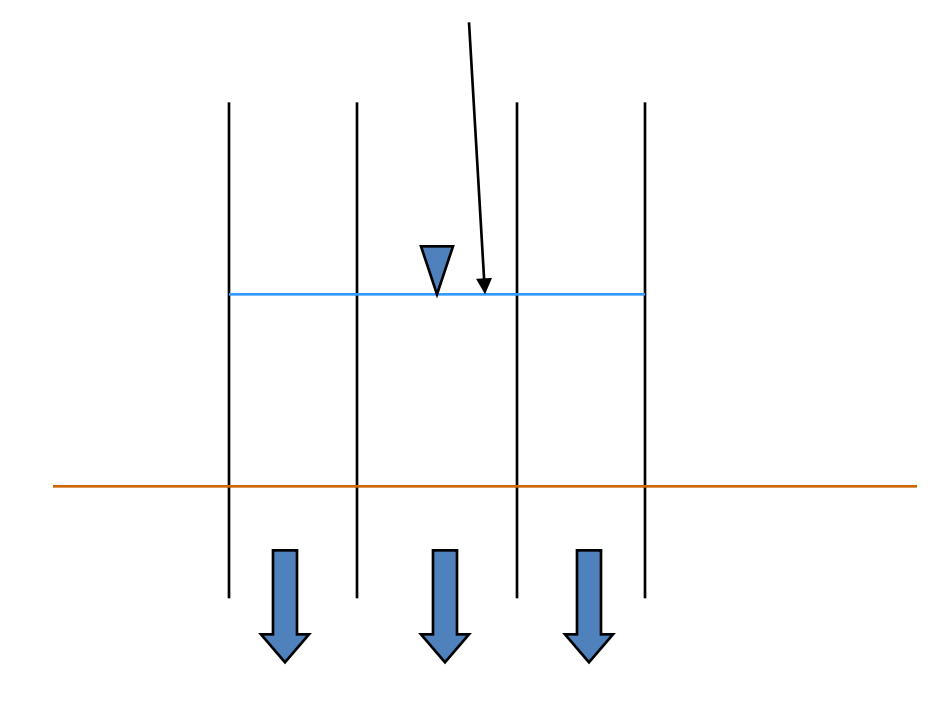
· Infiltrômetros em parcelas de escoamento





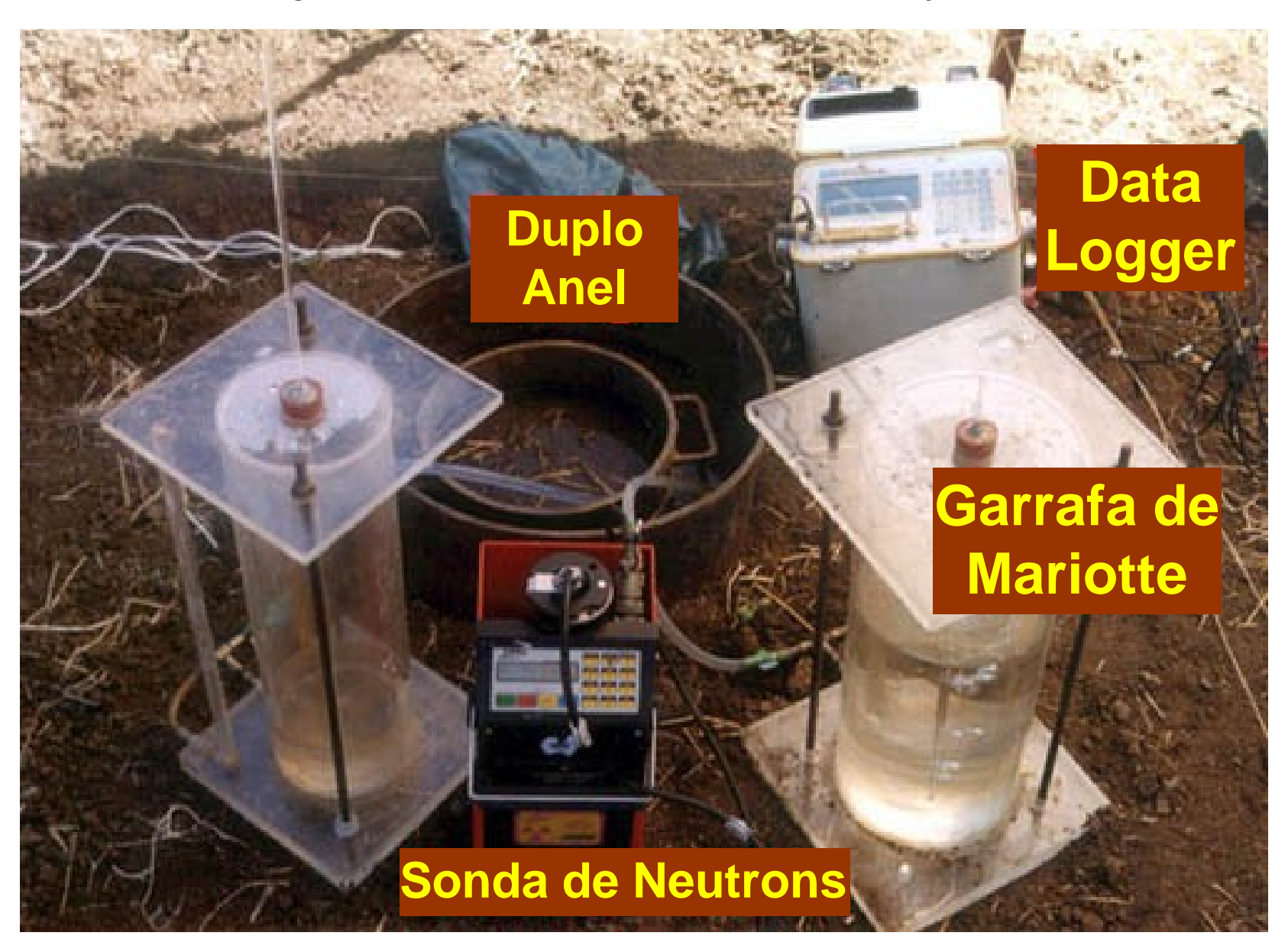
Medição: Infiltrômetro de Duplo Anel





fonte:http://www.alwi.com/wastewater.php

Medição: Infiltrômetro de Duplo Anel

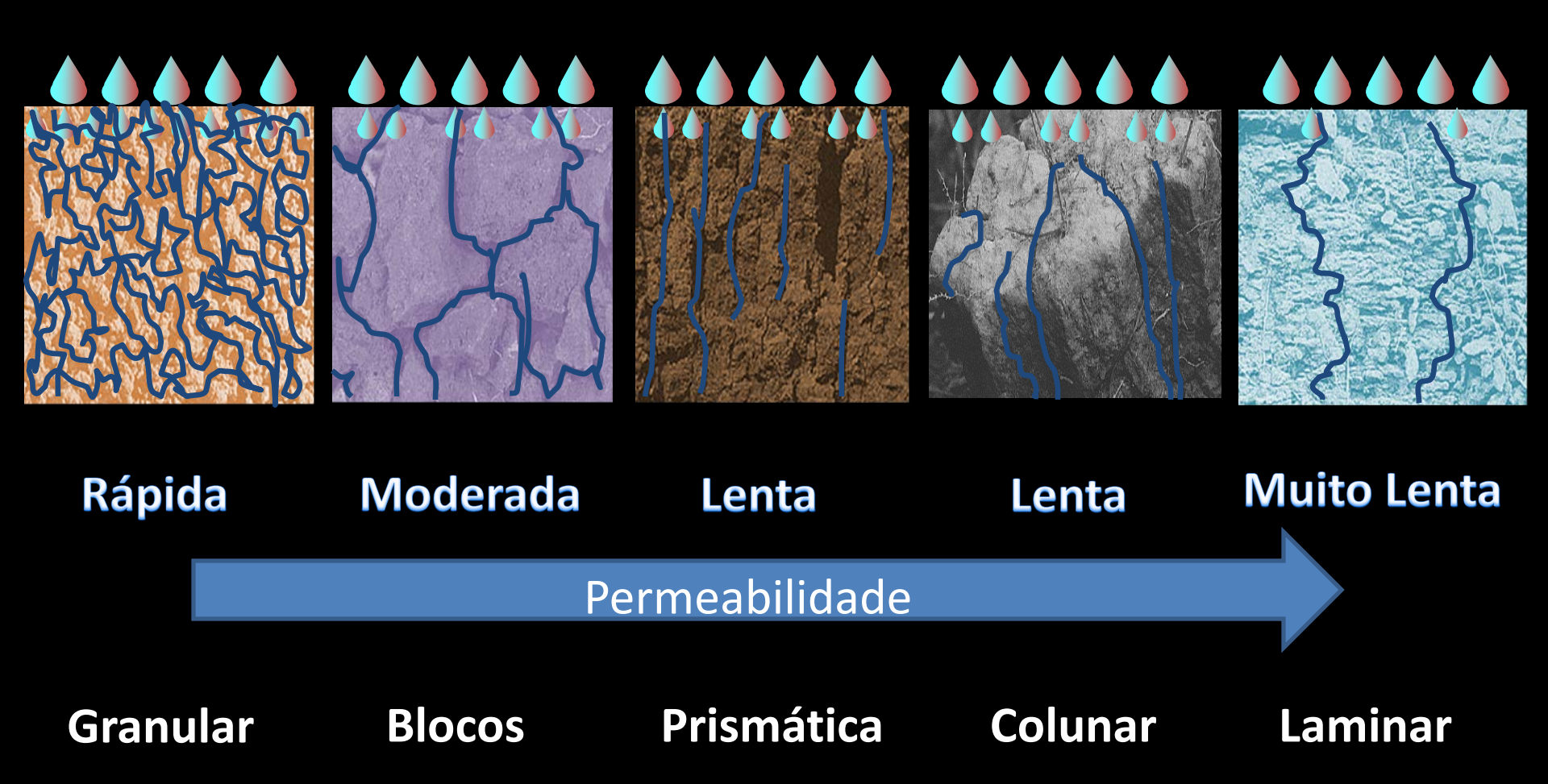


Simuladores de chuvas

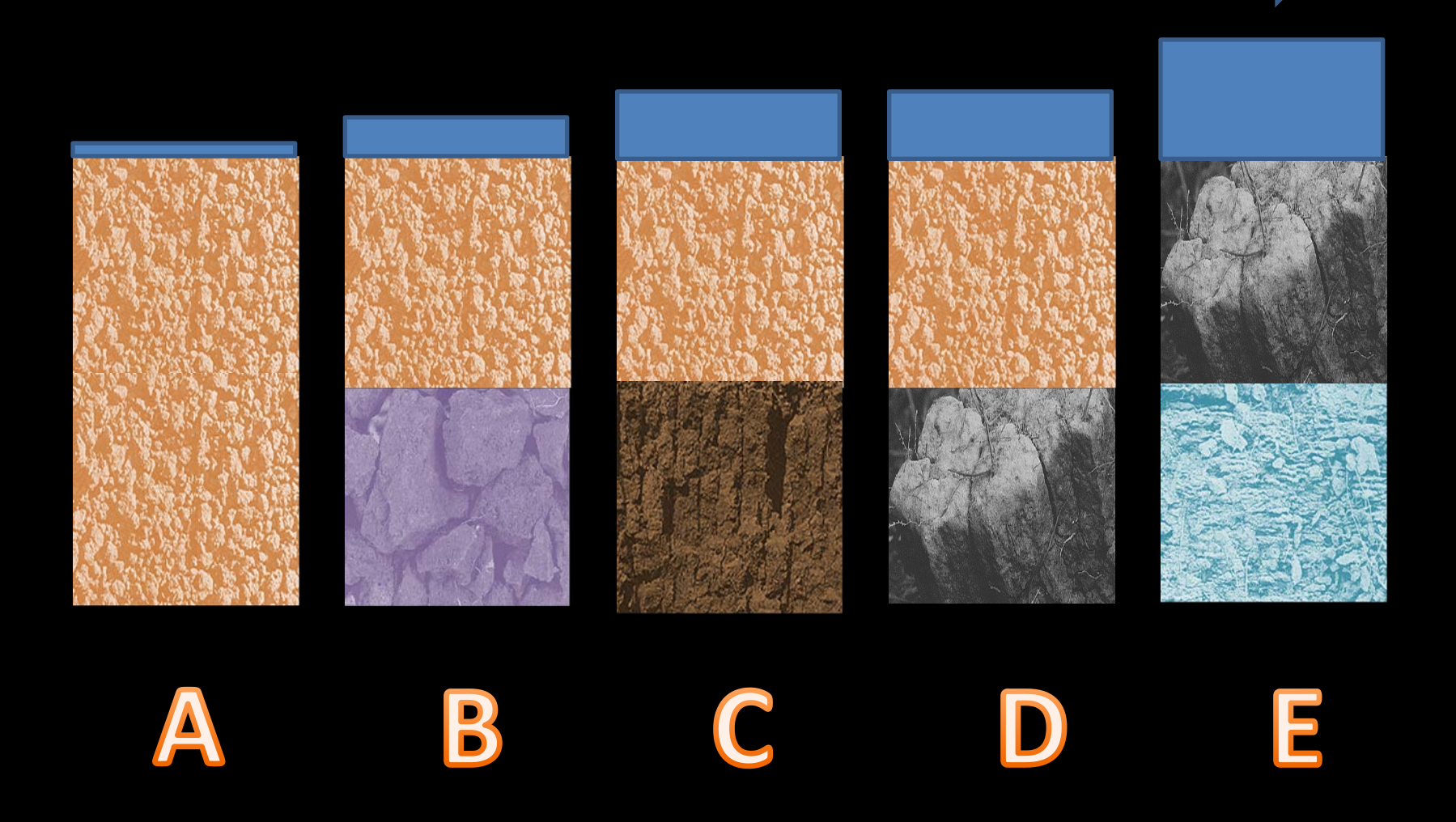




Tipos de Estrutura do Solo



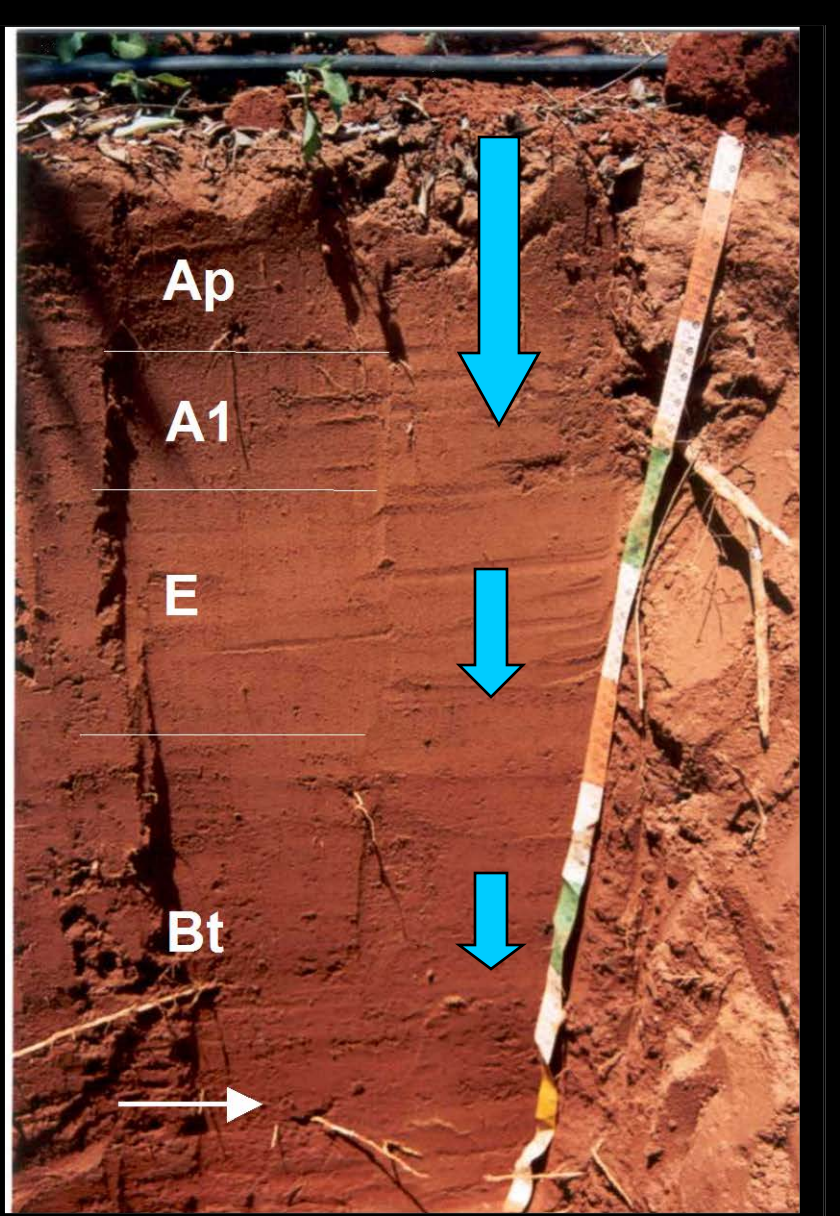
Aumento do volume do escoamento superficial





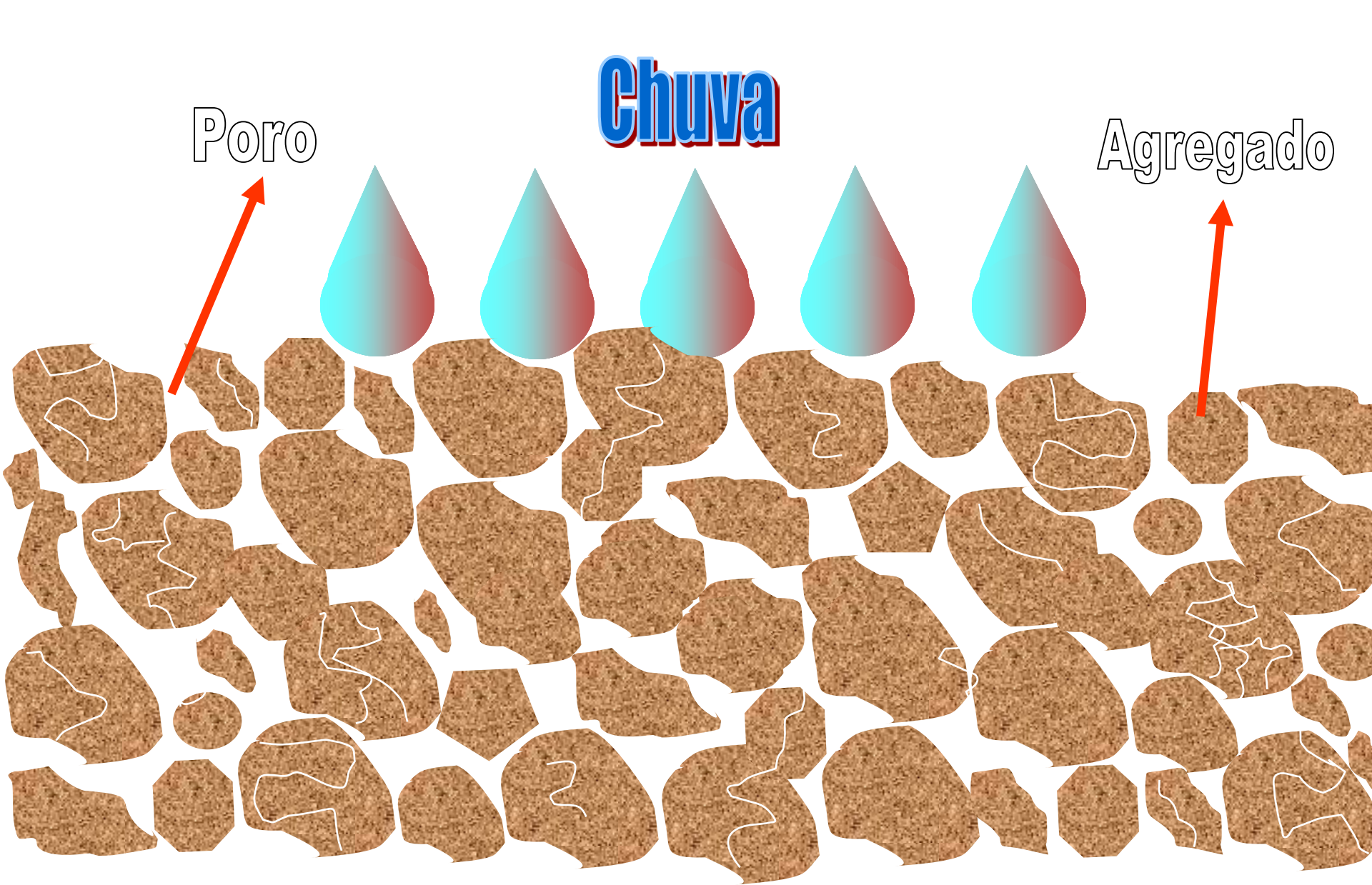


Argissolo



Infiltração de água

Solo descoberto

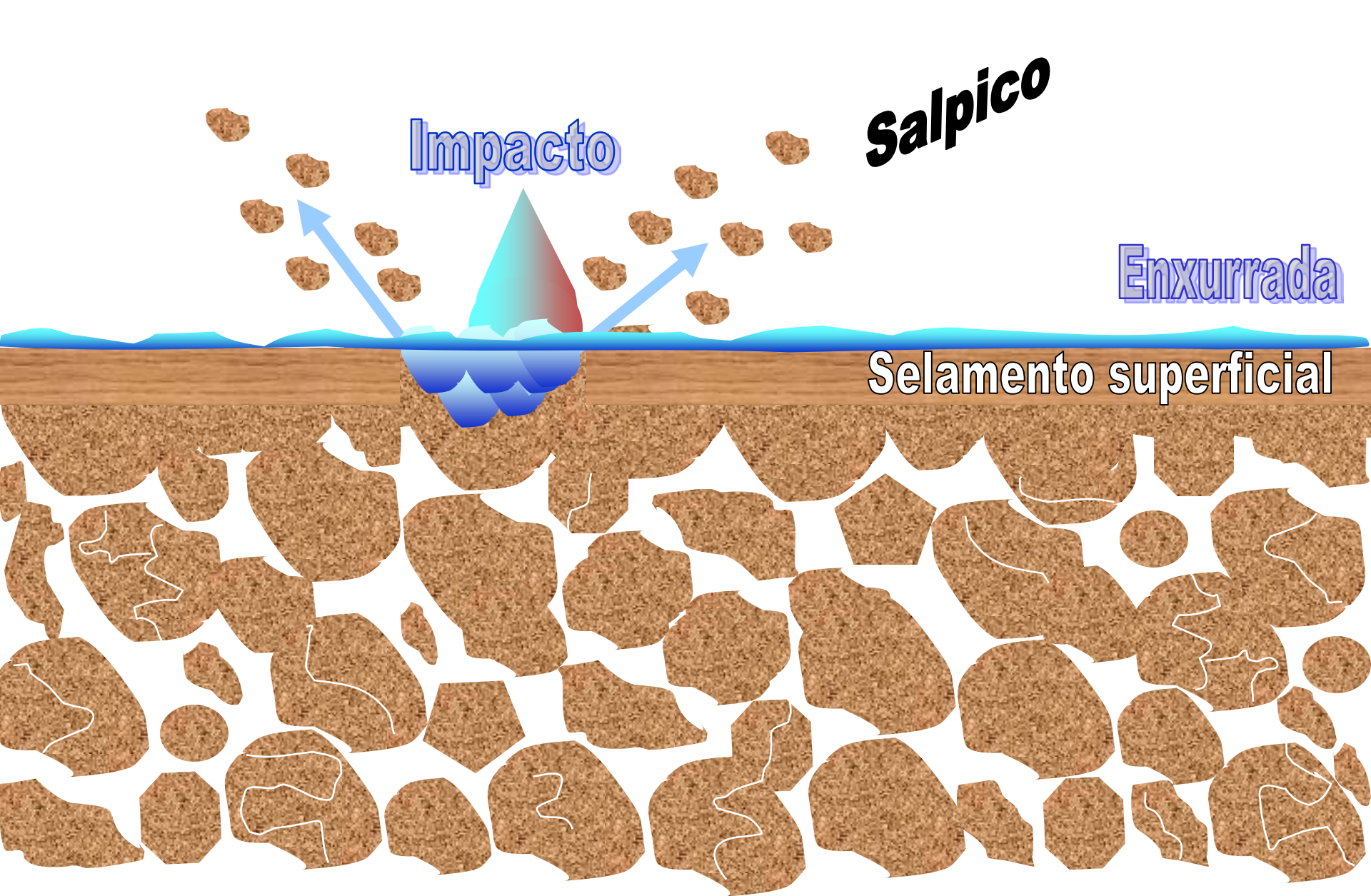


O quê ocorre com a superficie do solo?



Este vídeo apresenta uma seqüência do impacto da gota d'água da chuva. O tempo entre quadros individuais e de 1/240 centésimos de segundos. A seqüência do vídeo completa é de 0,1 s em tempo real.

Erosão em Entressulcos

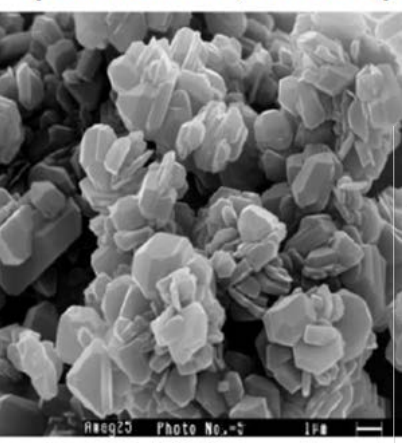


Hidrologia: conceitos e pesquisa básica

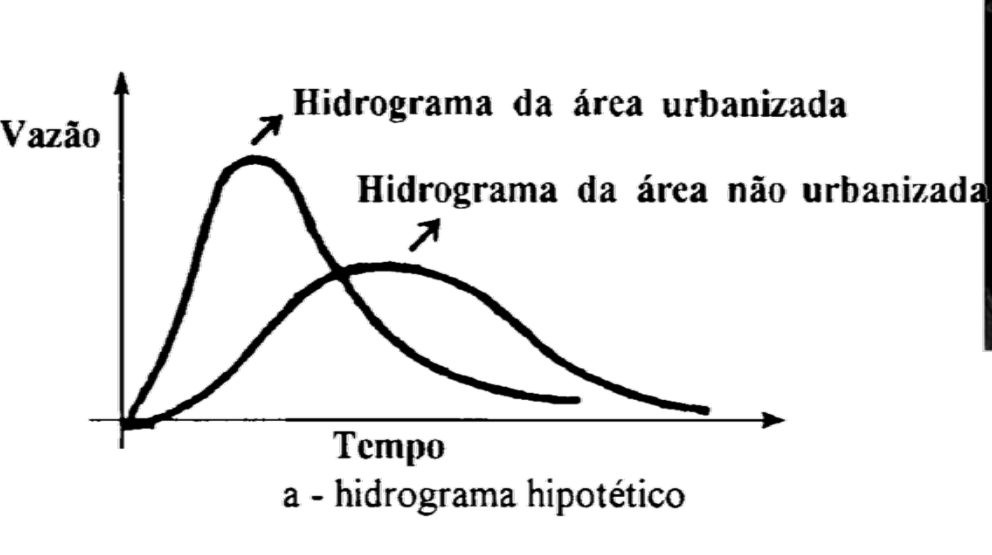
Escoamento Superficial e infiltração

Solos Oxídicos

(Óxidos de Fe , Gibbsita)

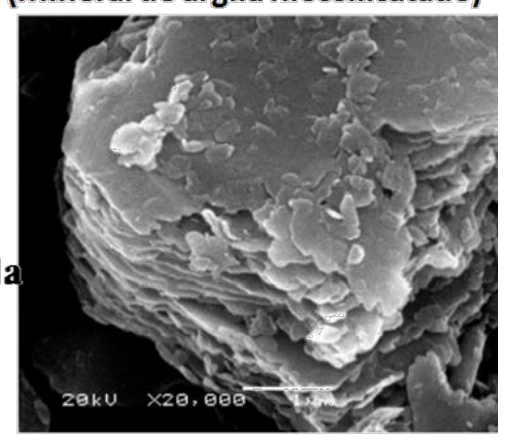


Arranjo dos cristais em forma de granulos

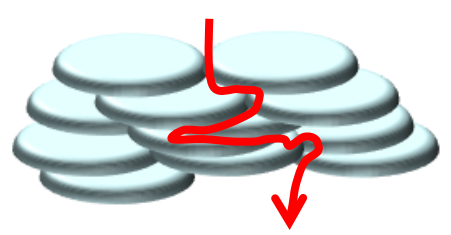


Solos cauliniticos

(Mineral de argila filossilicatado)



Arranjo dos cristais em forma de placas



Velocidade de infiltração da água no solo

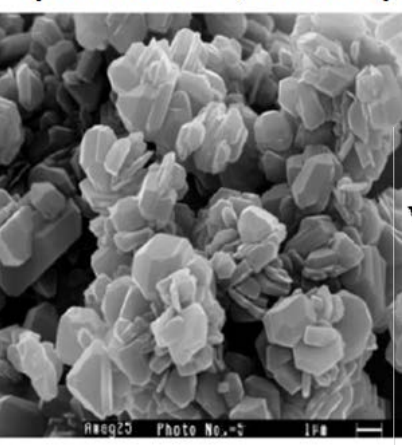


Hidrologia: conceitos e pesquisa básica

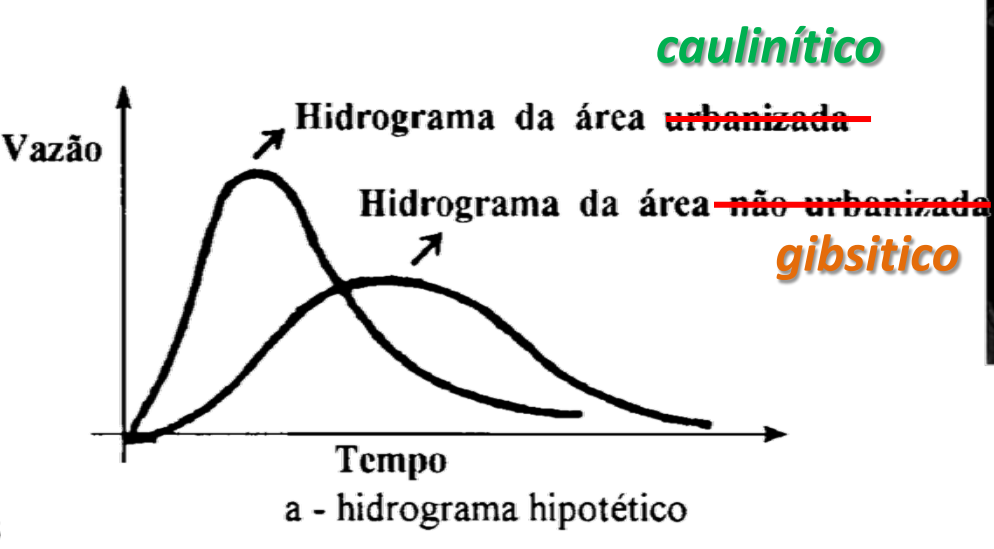
Escoamento Superficial e infiltração

Solos Oxídicos

(Óxidos de Fe , Gibbsita)

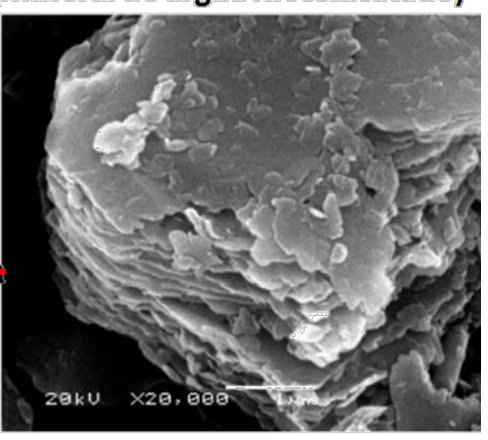


Arranjo dos cristais em forma de granulos

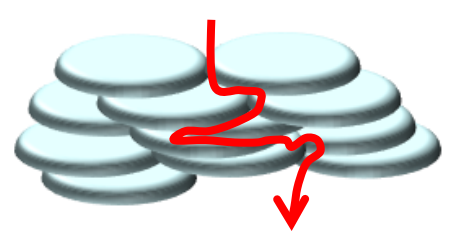


Solos cauliniticos

(Mineral de argila filossilicatado)



Arranjo dos cristais em forma de placas

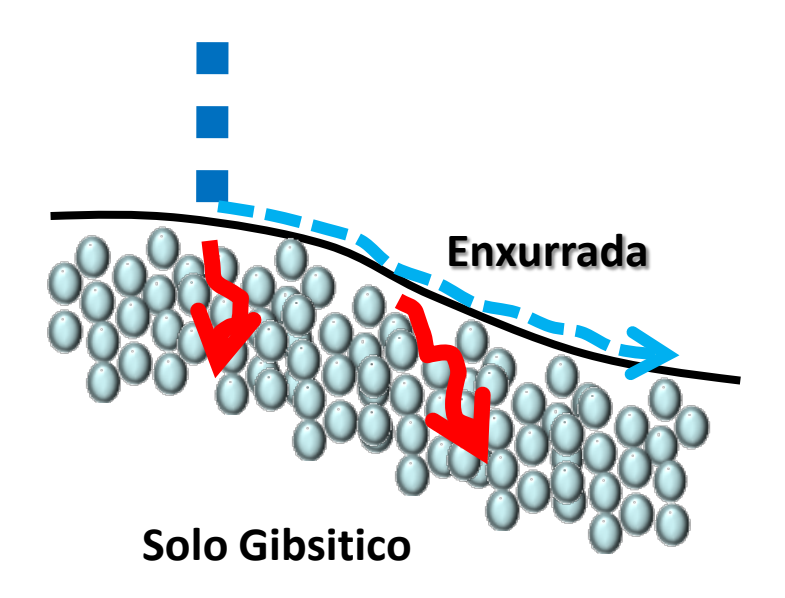


VVelocidade de infiltração da água no solo

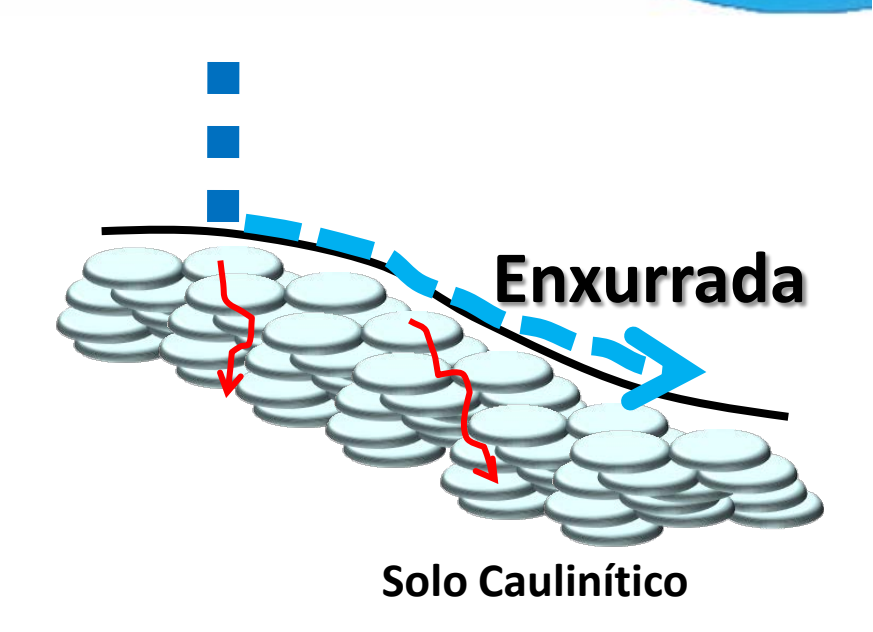


Hidrologia: conceitos e pesquisa básica

Escoamento Superficial e infiltração



Perda de Solo



Perda de Solo



Hidrologia: conceitos e pesquisa básica

Precipitação (Chuva)

Período de retorno (T)

"Período de retorno, também conhecido como período de recorrência ou tempo de recorrência, é o intervalo de tempo estimado de ocorrência de um determinado evento.

Ex.: se uma cheia é igualada ou excedida a cada 20 anos, T = 20 anos



Tempo de concentração (Tc)

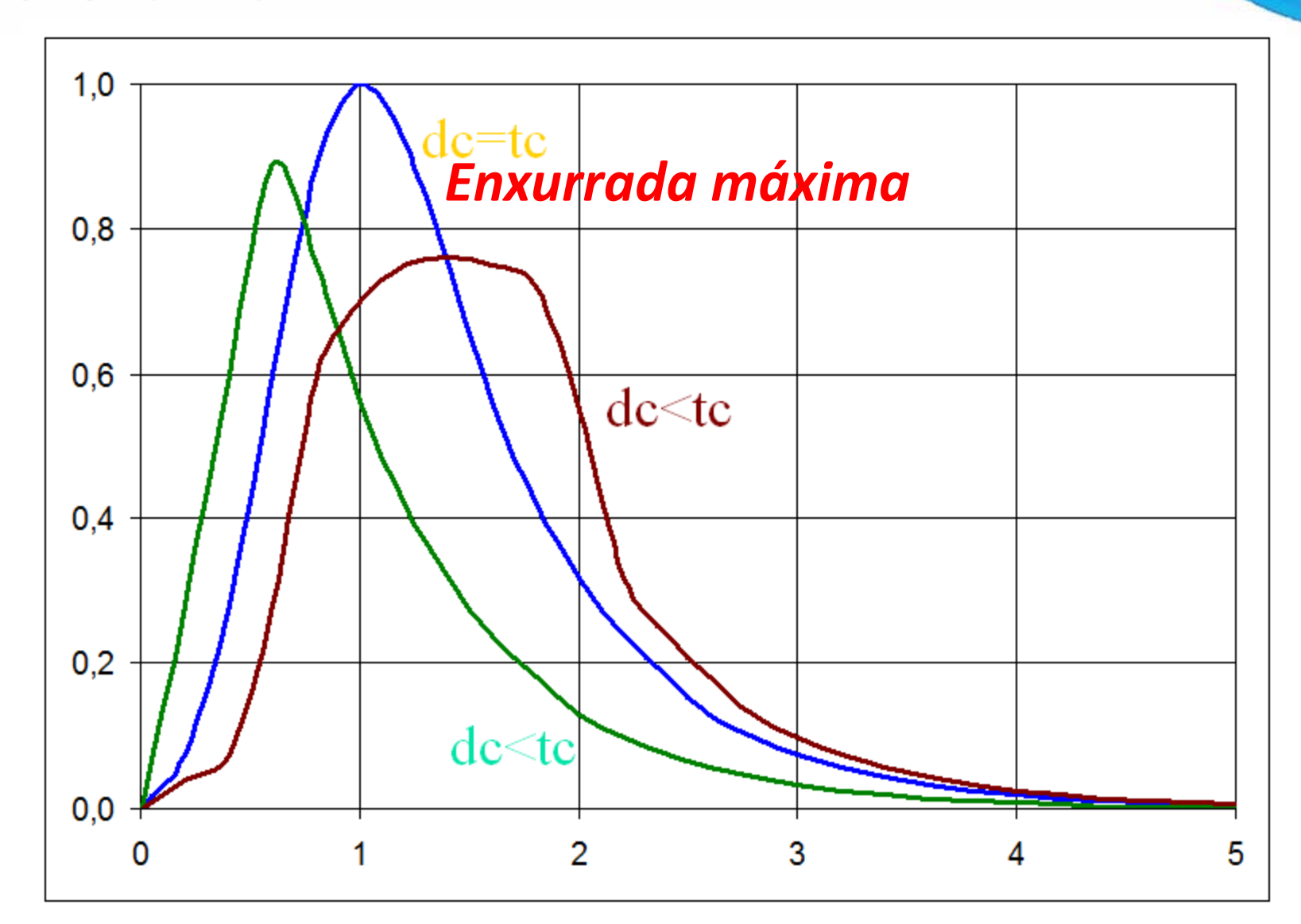
"É o tempo que a água demora em sair de um extremo ao outro mais distante da bacia"

"Quando uma chuva particular tem o tempo de duração i**gual** ao tempo de concentração da bacia, esta chuva terá <u>enxurrada máxima</u>"



Hidrologia: conceitos e pesquisa básica

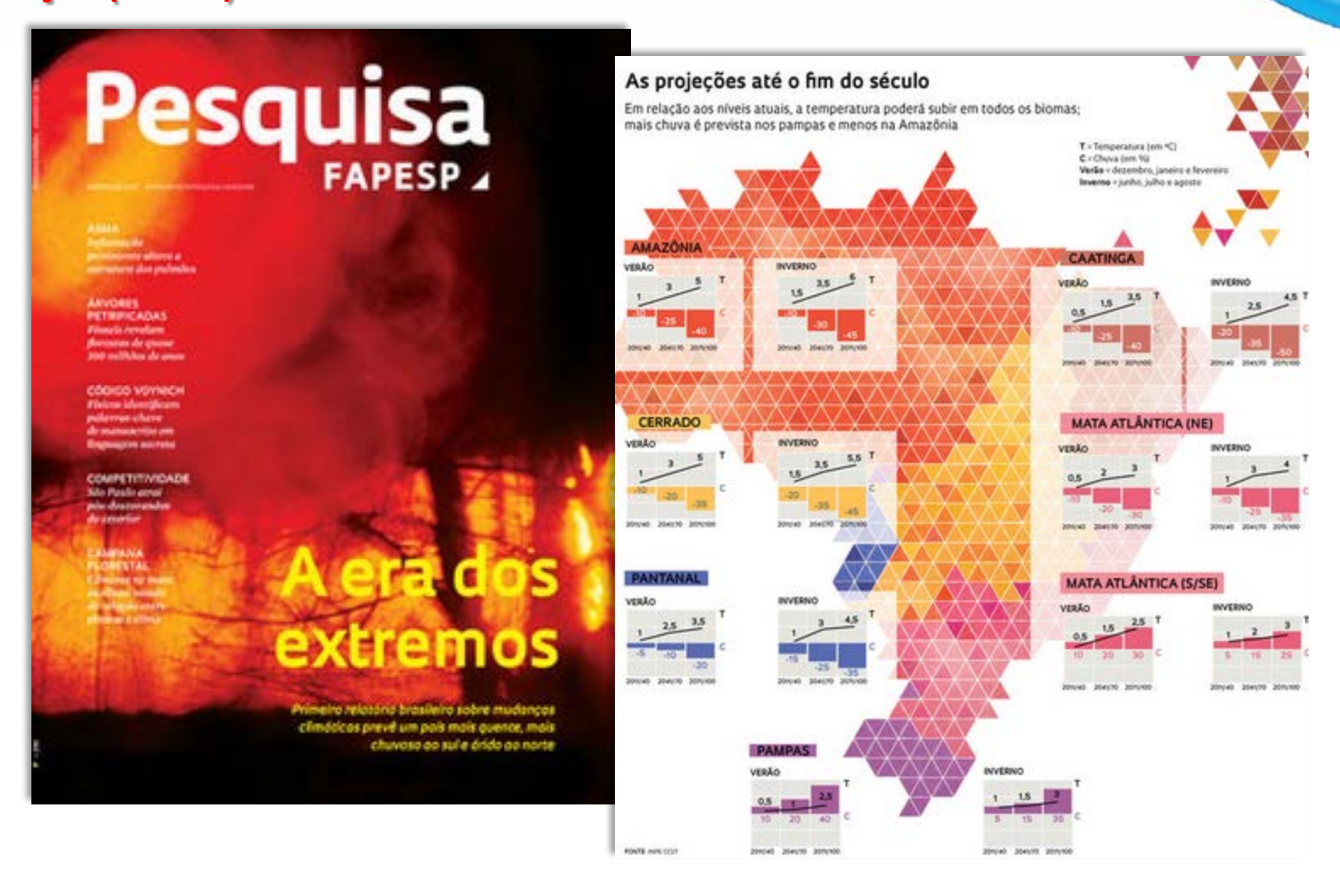
Precipitação (Chuva)





Hidrologia: conceitos e pesquisa básica

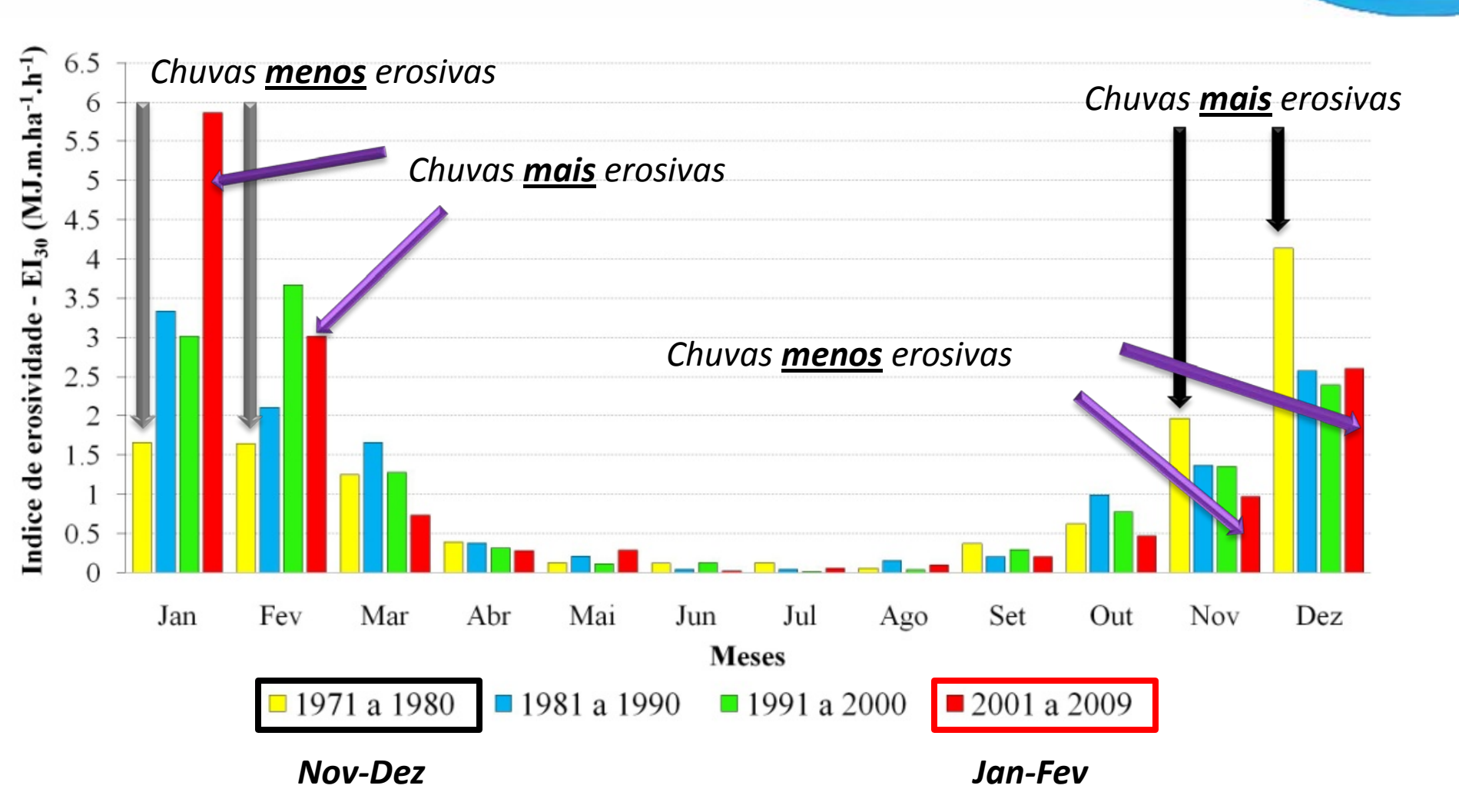
Precipitação (Chuva)





Hidrologia: conceitos e pesquisa básica

Precipitação (Chuva)



Fonte: Estação agroclimatológica da UNESP (Jaboticabal) (Resp.: Prof. Dr. Glauco de Souza Rolim)



Hidrologia: conceitos e pesquisa básica

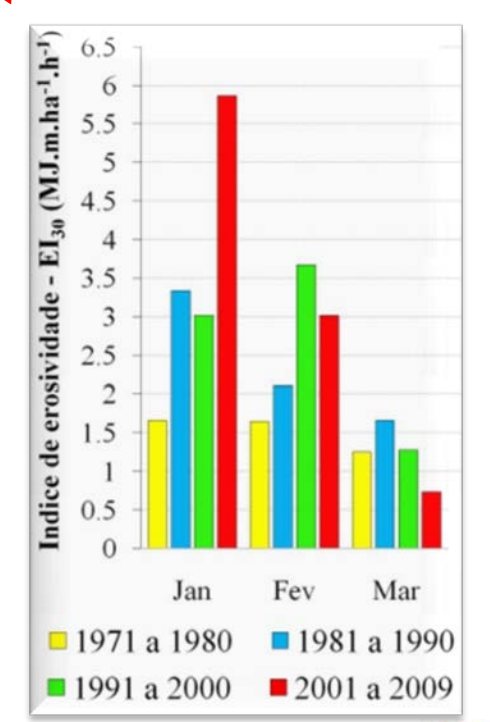
Precipitação (Chuva)

Recommended Planting Time in Different Countries

S.No.	Country	Season	Planting time
1	Brazil	Central-South	May to October
		Northeastern	September to March
2	India	Tropical	October to March
		Subtropical	September to April
3	China		November to April
4	USA	Hawaii	Year round
		Southeastern	August to March
5	Mexico		November to June
6	South Africa		May to November
7	Australia		June to December
7	Argentina		May to November
8	Cuba		November to May
9	Thailand		June to July and
			November
10	Philippines		October to May
11	Pakistan		February to March

Fonte: http://www.sugarcanecrops.com/

O planejamento do preparo e plantio, está adaptado para a mudança dos meses com chuvas mais erosivas?





Hidrologia: conceitos e pesquisa básica





Hidrologia: aplicação do conhecimento em inovação

Tese (Doutorado) 2011:

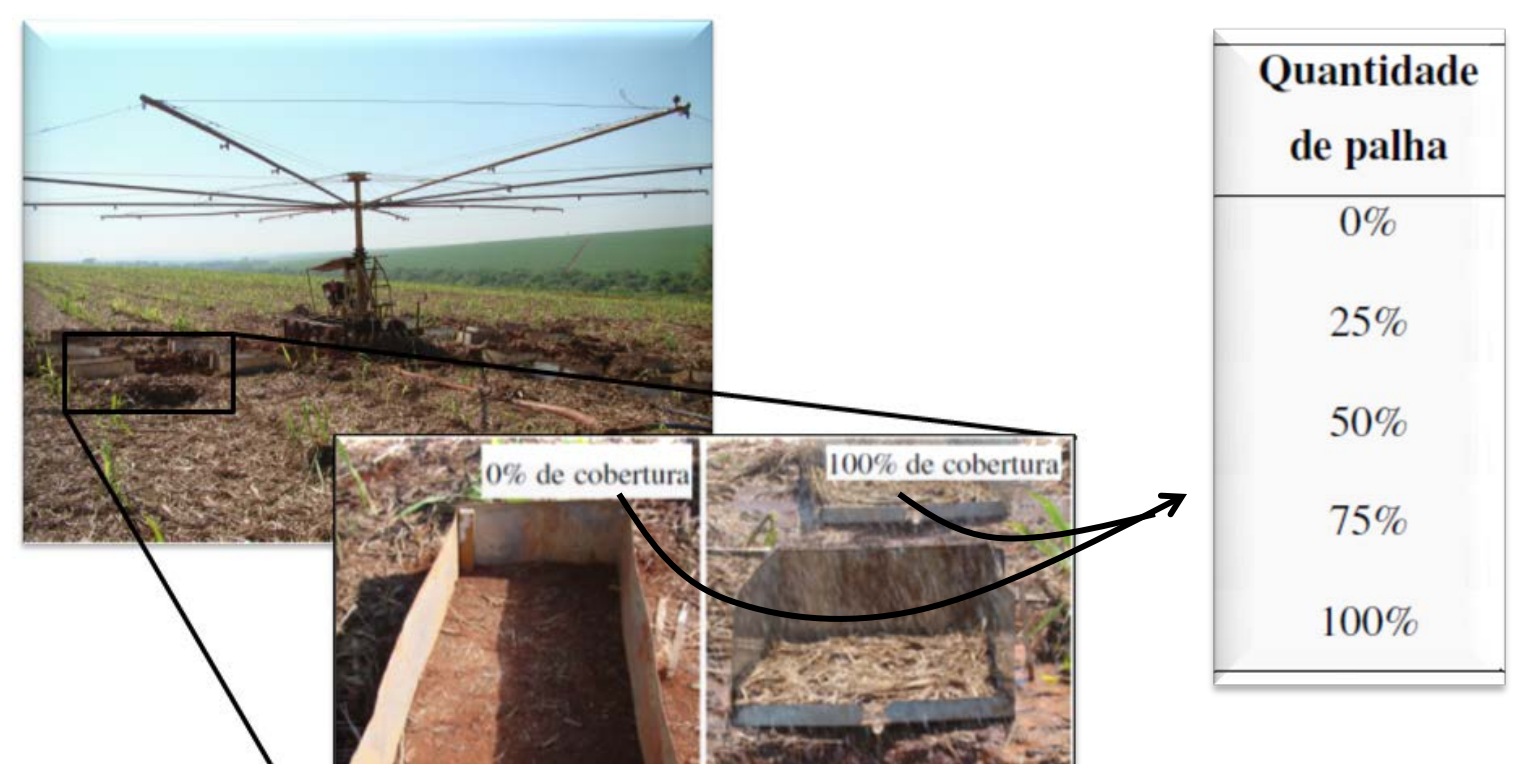
G. R. Vasconcelos Da Silva

Exemplo 1. Município de Pradópolis, Latossolo Vermelho, cana-de-açúcar

Atributos químicos e granulométricos do solo na profundidade de 0,00-0,20 m

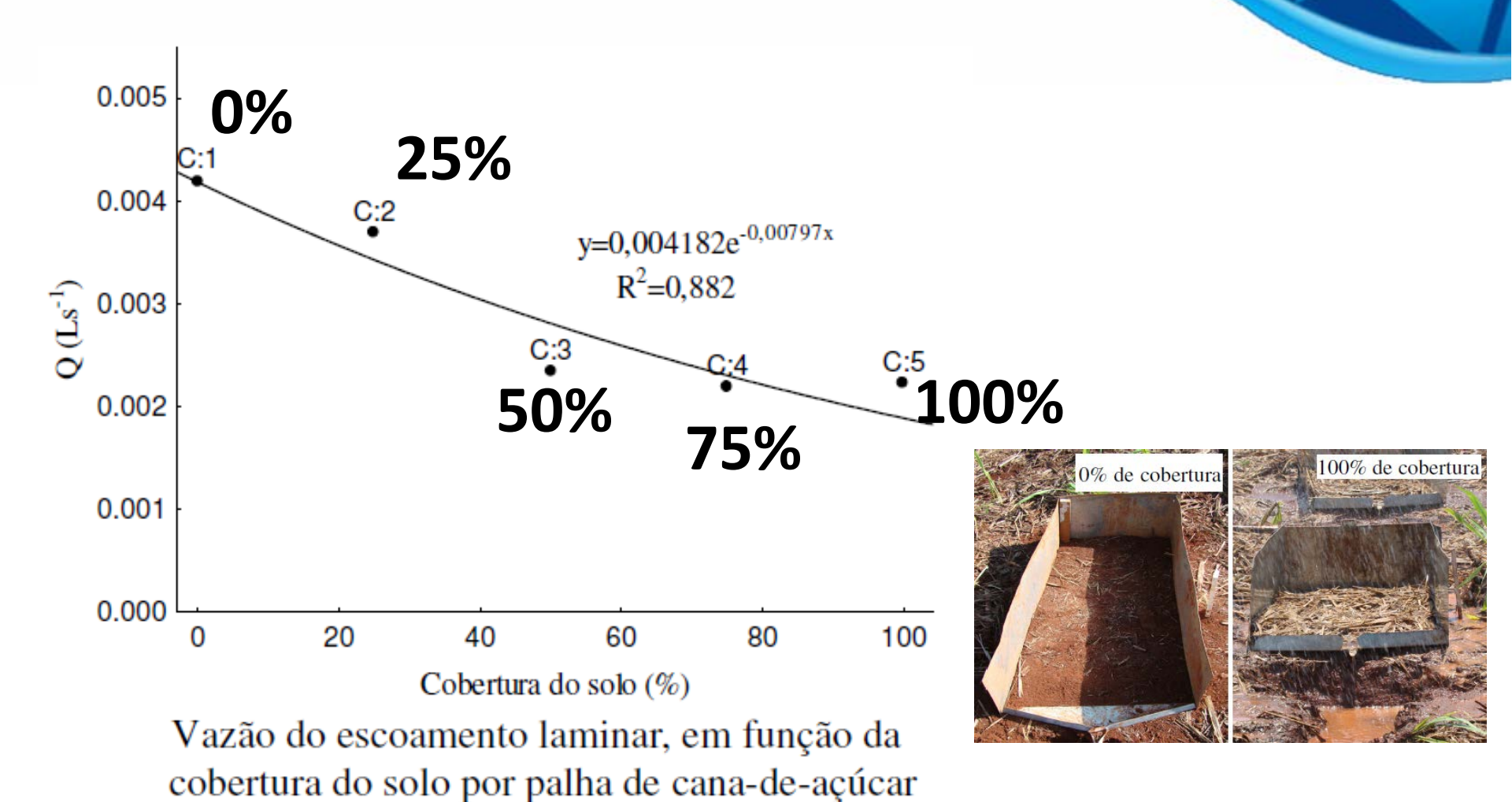
pН	MO	P	K	Ca	Mg	Al	H+Al	SB	CTC	V	AT	Argila	Silte
	g dm ⁻³	mg dm ⁻³				-mmol _e	dm ⁻³			%		g kg ⁻¹	
4,7	19,4	21,6	1,2	18,4	5,2	1,2	36,2	24,8	60,9	40,5	344	525	132

MO = matéria orgânica; P = fósforo; K = potássio; Ca = cálcio; Mg = magnésio; Al = alumínio; H+Al = hidrogênio+alumínio; SB = soma de bases; CTC = capacidade de troca catiônica; V = saturação por bases; AT = areia total.





Hidrologia: aplicação do conhecimento em inovação

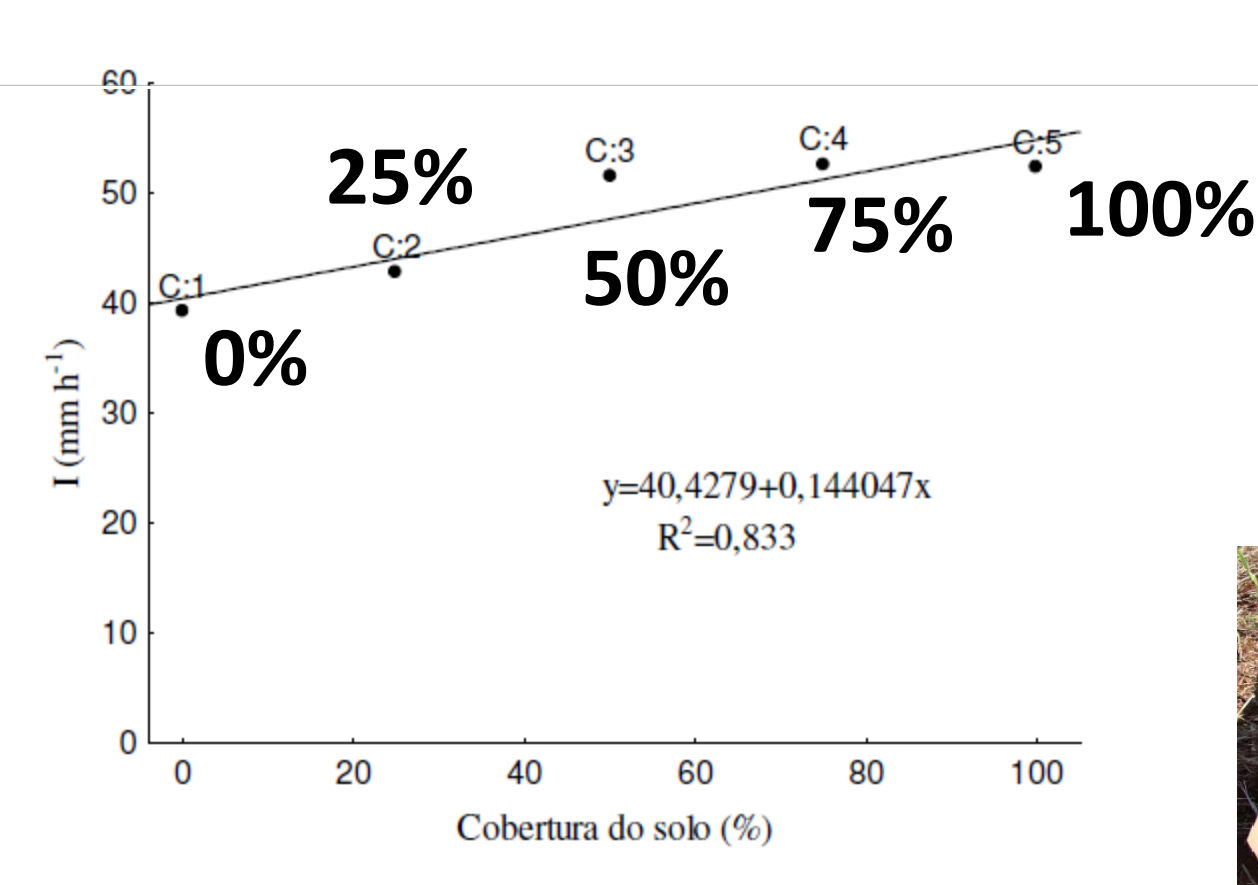


Tese (Doutorado) 2011:

G. R. Vasconcelos Da Silva



Hidrologia: aplicação do conhecimento em inovação



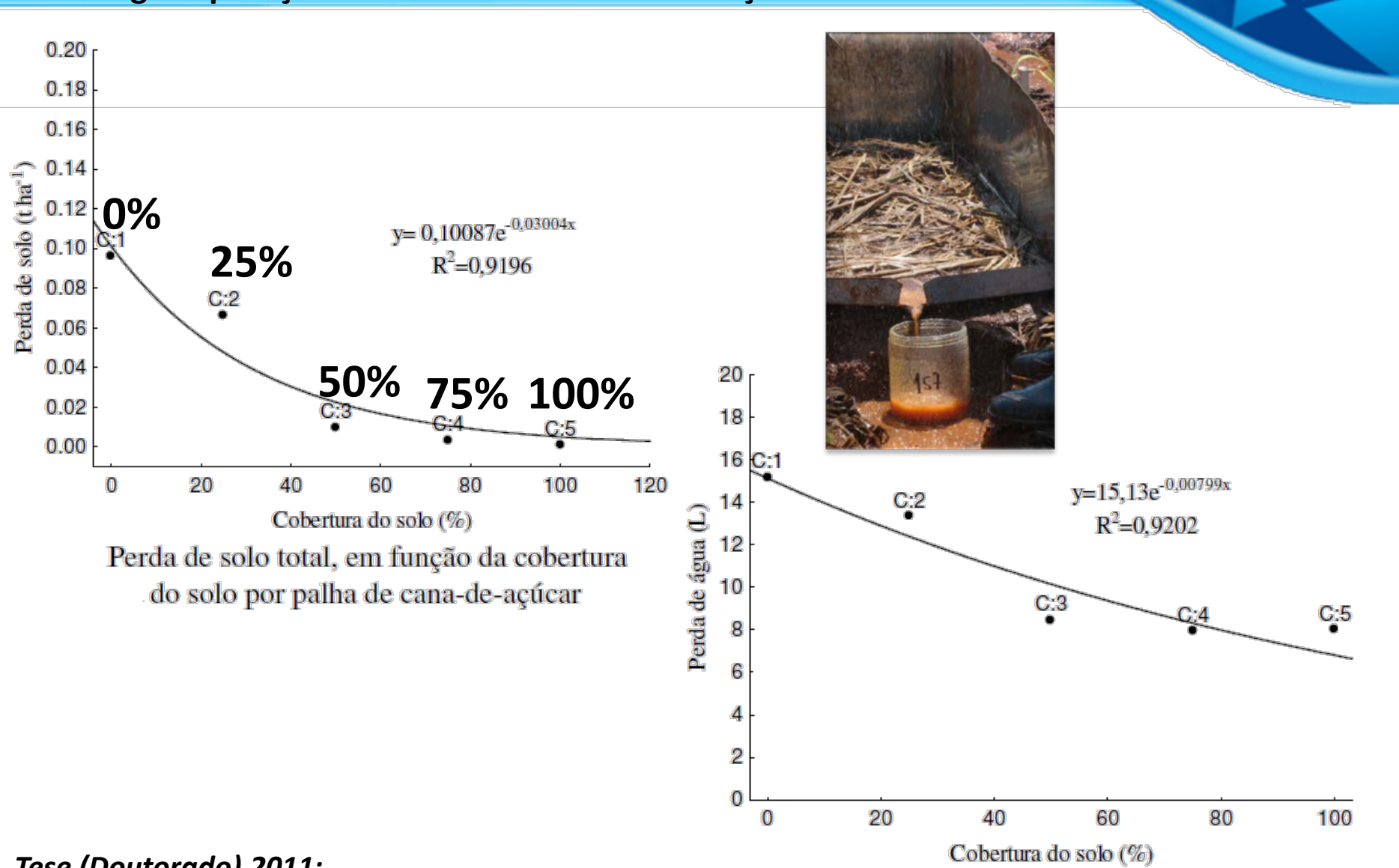
Taxa média de infiltração da água no solo, em função da cobertura do solo por palha de cana-de-açúcar







Hidrologia: aplicação do conhecimento em inovação



Perda de água total, em função da cobertura.

do solo por palha de cana-de-açúcar.

Tese (Doutorado) 2011: G. R. Vasconcelos Da Silva

Hidrologia: aplicação do conhecimento em inovação



Cobertura	MO	P ₂ O ₅	K ₂ O	CaO	MgO
(%)	kg ha ⁻¹	kg ha ⁻¹	kg ha ⁻¹	kg ha ⁻¹	kg ha ⁻¹
0	217 x	130 x	110 x	227 x	297 x
25	84 x	28 x	41 x	1,6 x	2 x
50	8 x	5 x	4 x	2,4 x	3 x
75	1,5 x	1,7 x	1,8 x	1,3 x	1,5 x
100	1,8070 b	0,000013 b	0,000017 b	0,000090 b	0,00002 b



Médias seguidas de mesma letra, na coluna, não diferem estatisticamente entre si pelo teste de Duncan a 5% de probabilidade.

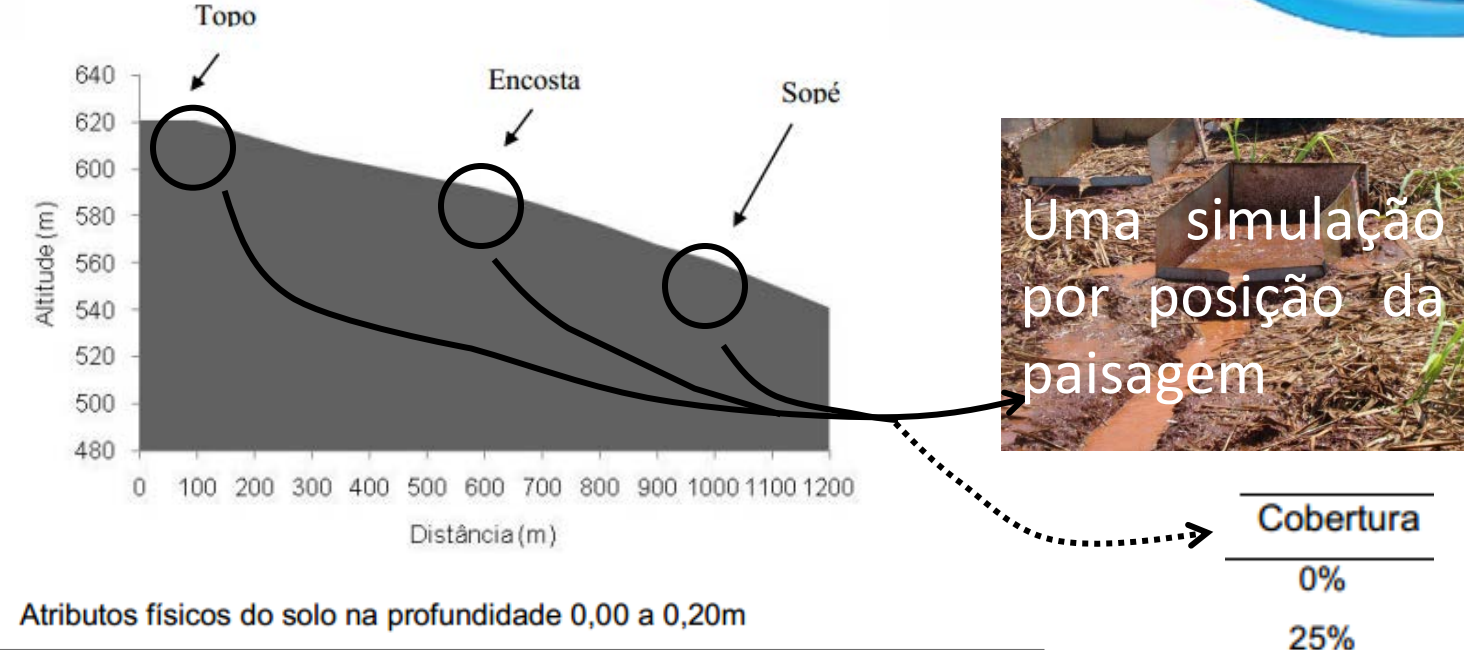
Tese (Doutorado) 2011:

G. R. Vasconcelos Da Silva



Hidrologia: aplicação do conhecimento em inovação

Exemplo 2. Município Guariba, o Latossolo Vermelho-Amarelo, cana-de-açúcar



Posição	Argila	Silte	AT	AG	AF
			%		
Торо	30	6	64	38	26
Encosta	26	7	67	34	33
Sopé	34	8	58	48	10

AT - Areia total; AG - Areia grossa e AF - Areia fina

Tese (Doutorado) 2011:

G. B. de Souza

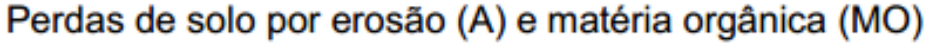


50%

75%

100%

Hidrologia: aplicação do conhecimento em inovação



				Verter	nte			
Parâmetros	Cobertura	Торо)	Encos	Encosta		oé	
	0%	0,0460	аВ	0,0636	aAB	0,0959	аА	
	25%	0,0186	abB	0,0393	abAl	0,0660	аА	
Α	50%	0,0086	bA	0,0332	abA	0,0097	aA	
t ha ⁻¹	75%	0,0033	bA	0,0061	bA	0,0033	bA	
	100%	0,0010	bA	0,0027	bA	0,0011	bA	
	0%	216,30	aB	169,67	aB	391,42	aA	
MO	25%	67,16	bA	83,29	abA	83,47	bA	
kg ha ⁻¹	50%	32,81	bA	0,00	bA	13,88	bA	
	75%	8,39	bA	3,06	bA	2,71	bA	
	100%	4,06	bA	3,57	bA	0,00	bA	

Médias seguidas de mesma letra minúscula na coluna e maiúscula na linha não diferem estatisticamente pelo teste de Duncan, para tipos de cobertura e segmentos de vertente.

Tese (Doutorado) 2011:

G. B. de Souza



Hidrologia: aplicação do conhecimento em inovação

Perdas de nutrientes em diferentes percentuais de cobertura por palha de cana-de-açúcar

			Vertente	
Parâmetros	Cobertura	Торо	Encosta	Sopé
	0%	0,0012 aA	0,0011 aA	0,0016 aA
	25%	0,0004 abA	0,0002 bA	0,0003 bA
P	50%	0,0002 bA	0,0000 bA	0,00006 b A
kg ha ⁻¹	75%	0,00007 bA	0,00001bA	0,00002 bA
	100%	0,0000 bA	0,0000 bA	0,00001 bA
	0%	0,0011 aA	0,0028 aA	0,0018 a A
	25%	0,0004 aA	0,0014 bA	0,0007 bA
K	50%	0,0002 aA	0,0001 cA	0,00006 bA
kg ha ⁻¹	75%	0,0000 aA	0,0000 cA	0,00003 bA
	100%	0,0000 aA	0,0000 cA	0,00001 bA
	0%	0,0130 a A	0,01656 aA	0,0203 aA
	25%	0,0046 b A	0,0088a bA	0,0000 bA
Ca	50%	0,0000 bA	0,0000 bA	0,0002 bA
kg ha ⁻¹	75%	0,00008 bA	0,0000 bA	0,0001 bA
	100%	0,0000 bA	0,0000 bA	0,00009 bA
	0%	0,0037 aA	0,0045 aA	0,0059 aA
	25%	0,0012 bA	0,0025 bA	0,0000 bA
Mg	50%	0,0000 bA	0,0000 bA	0,00006 bA
kg ha ⁻¹	75%	0,00005 bA	0,0000 bA	0,00003 bA
	100%	0,0000 bA	0,0000 bA	0,00002 bA

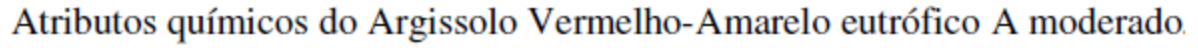
Resultados indicam que o ponto de equilíbrio esteja por volta de 50-75% cobertura

Médias seguidas de mesma letra minúscula na coluna e maiúscula na linha não diferem estatisticamente pelo teste de Duncan, para tipos de cobertura e segmentos de vertente.



Hidrologia: aplicação do conhecimento em inovação

Exemplo 3. Município Catanduva, Argissolo Vermelho-Amarelo, cana-de-açúcar



Horizonte	Profundidade	MO	pН	P	K	Ca	Mg	H+Al	Al	SB	CTC	V%
	m	g dm ⁻³	$CaCl_2$	mg dm ⁻³			n	nmol _c d	m ⁻³			%
A	0,0-0,20	15,7	5,1	34,2	2,3	19,6	8,7	24,2	0,7	30,8	55,1	55,4
В	0,0-0,80	8,7	5,0	7,9	0,9	20,8	8,1	22,9	1,5	30,5	52,8	55,7

Atributos físicos do Argissolo Vermelho-Amarelo eutrófico A moderado

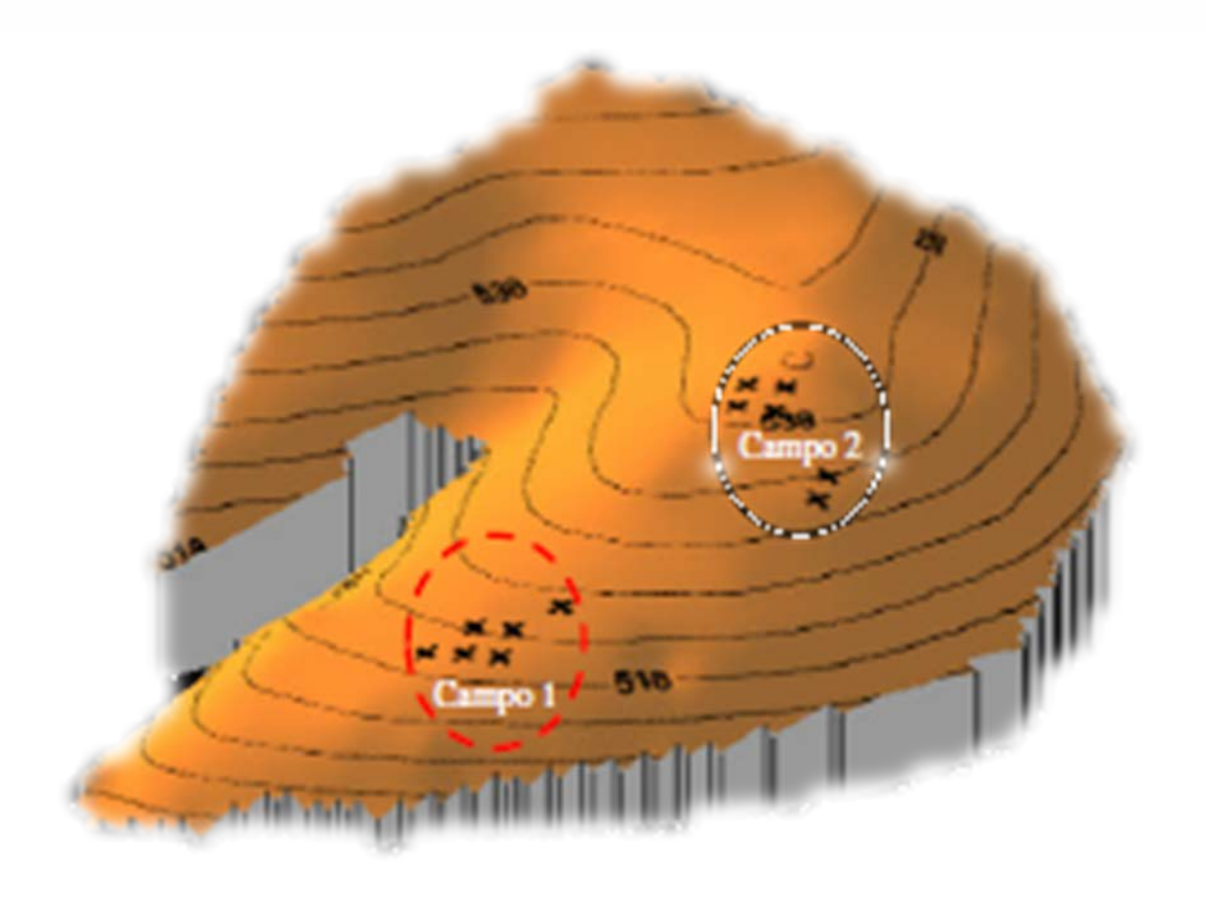
Horizonte	Profundidade	Argila	Silte	AT	AMG	AG	AM	AF	AMF
	m				g kg ⁻¹				
A	0,0-0,20	180	31	789	0	4	73	531	181
В	0,60-0,80	325	28	647	0	0	49	435	163

AT = areia total; AMG = areia muito grossa; AG = areia grossa; AM = areia média; AF = areia fina e AMF = areia muito fina.



Hidrologia: aplicação do conhecimento em inovação

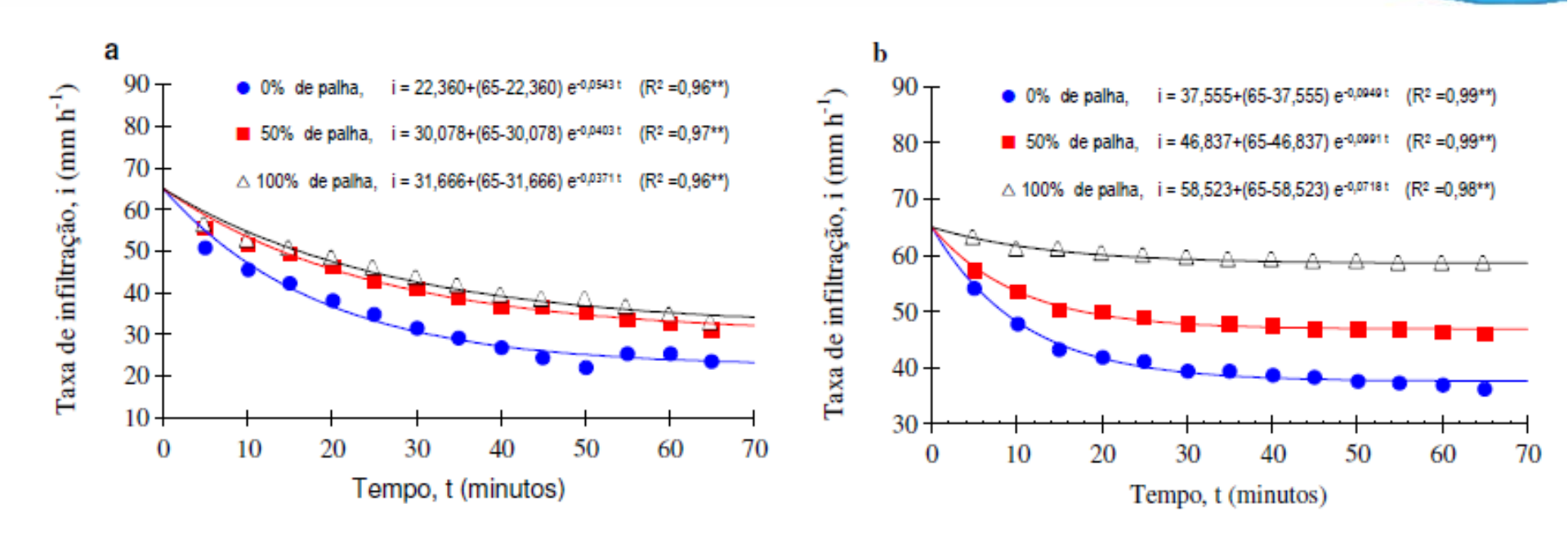
Exemplo 3. Município Catanduva, Argissolo Vermelho-Amarelo, cana-de-açúcar





Hidrologia: aplicação do conhecimento em inovação

Exemplo 3. Município Catanduva, Argissolo Vermelho-Amarelo, cana-de-açúcar



Taxa de infiltração de água no solo (i), no tempo (t), sem e com cobertura por palha em superfície: a) Campo 1, e b) Campo 2. Em que, $i = i_0 + (I-i_0) e^{-zt}$, i_0 é a taxa mínima de infiltração de água no solo, I é a intensidade da chuva e z é uma constante.



Hidrologia: aplicação do conhecimento em inovação

Exemplo 3. Município Catanduva, Argissolo Vermelho-Amarelo, cana-de-açúcar



Cobertu	ra do Solo (CS)	Campo 1	Campo 2	Campo 3
	%	·	·	•
CS_0	0	1,000 a A	1,000 a A	1,000 a A
CS_{50}	50	0,551 b A	0,522 b A	0,211 b A
CS ₁₀₀	100	0,350 с В	0,521 b A	0,199 b C

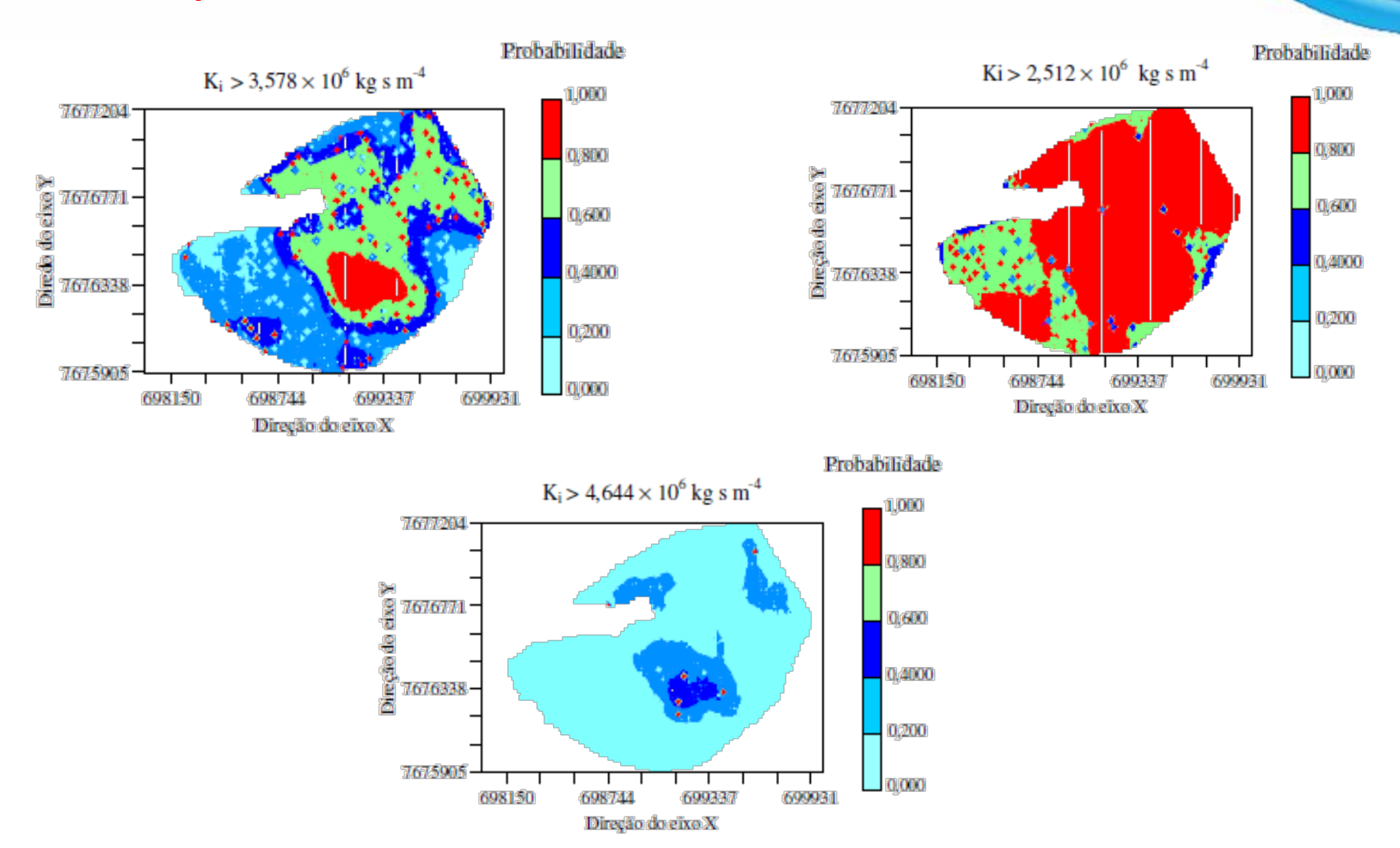
Médias seguidas de mesma letra minúscula na coluna e maiúscula na linha não diferem estatisticamente, pelo teste Tukey, a 5% de probabilidade.

Resultados indicam que ideal seja cobertura >= <u>50%</u>



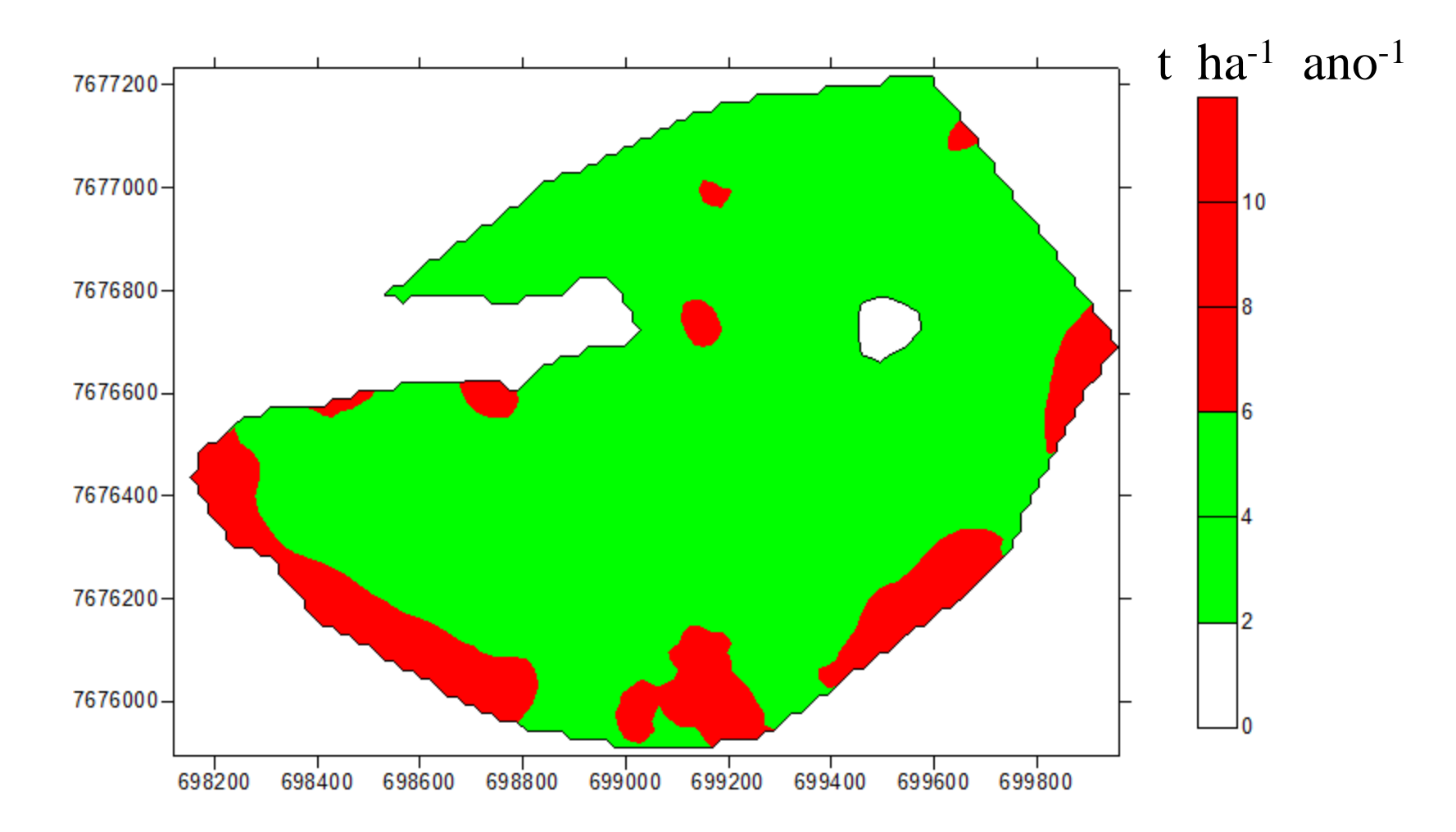
Hidrologia: aplicação do conhecimento em inovação

Calculo da probabilidade de erodibilidade em entressulcos

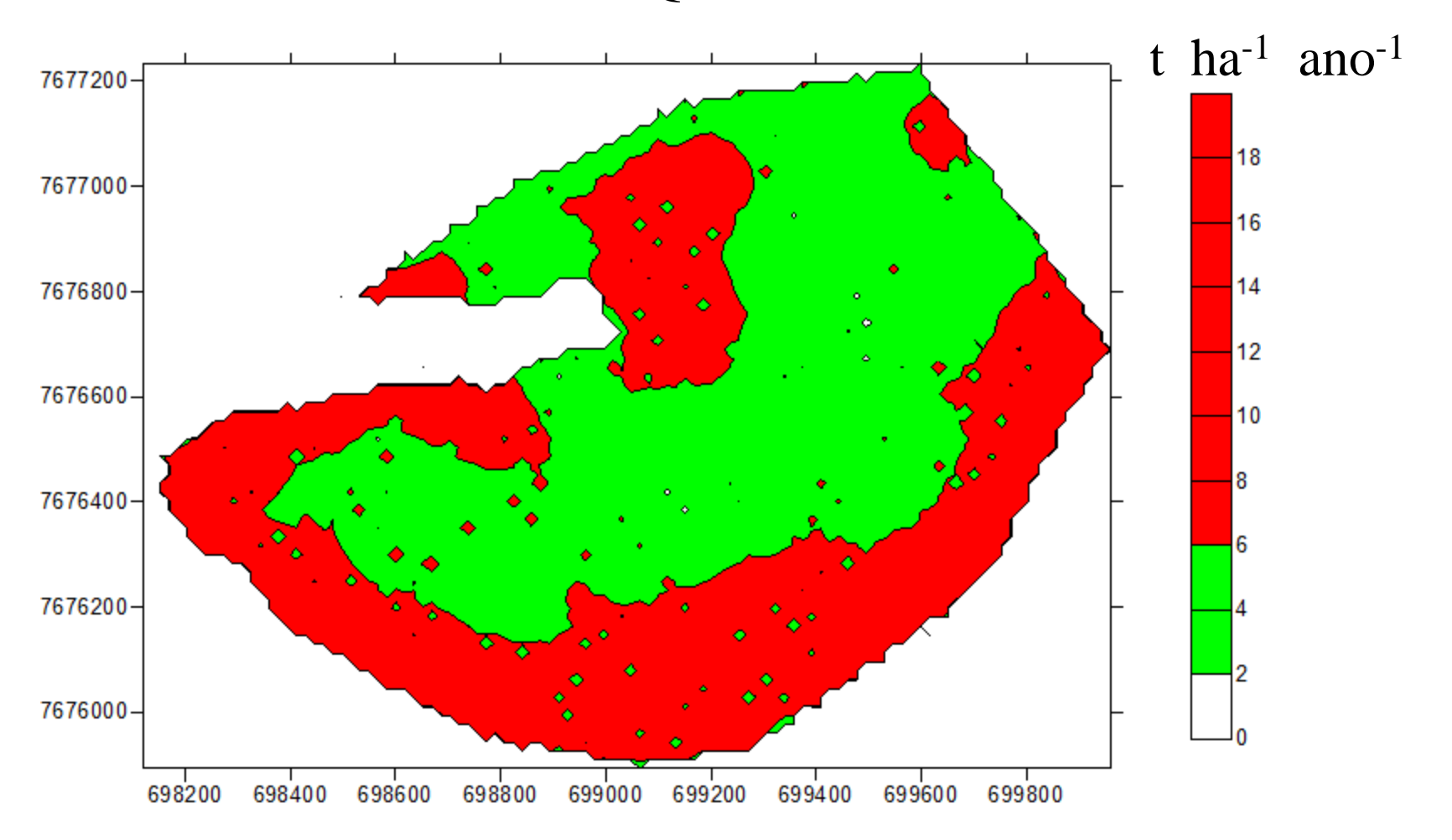




Cana Crua

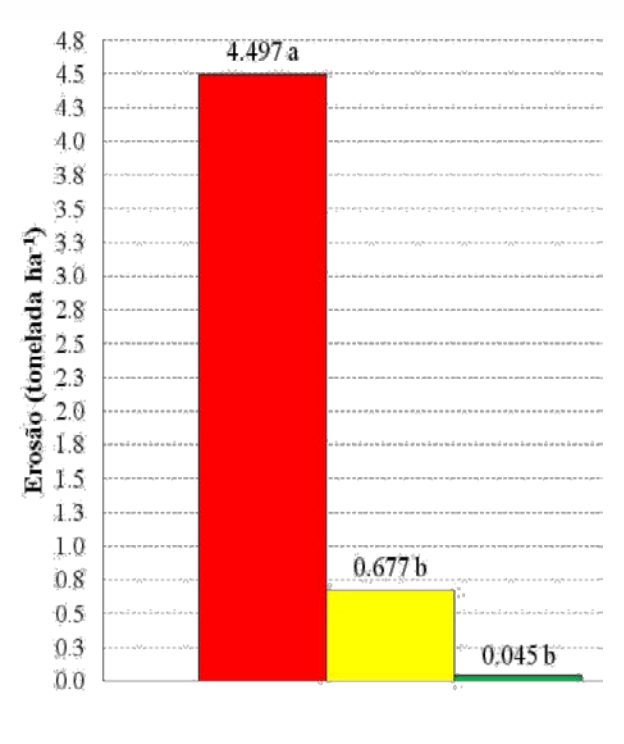


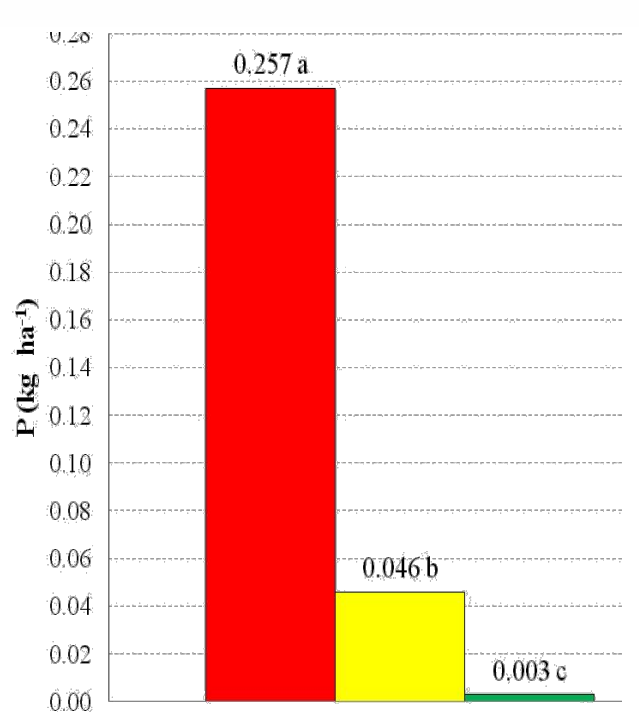
Cana Queimada

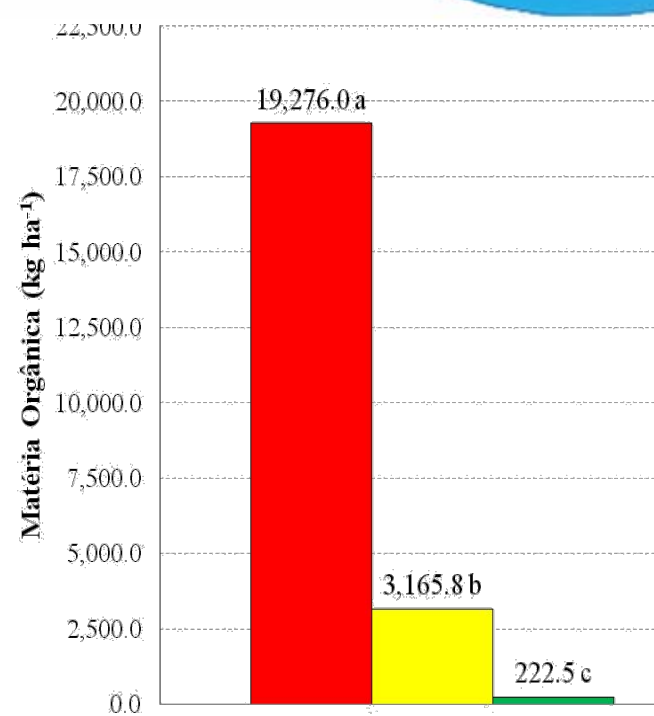


Hidrologia: aplicação do conhecimento em inovação

Exemplo 4. Latossolo, argiloso













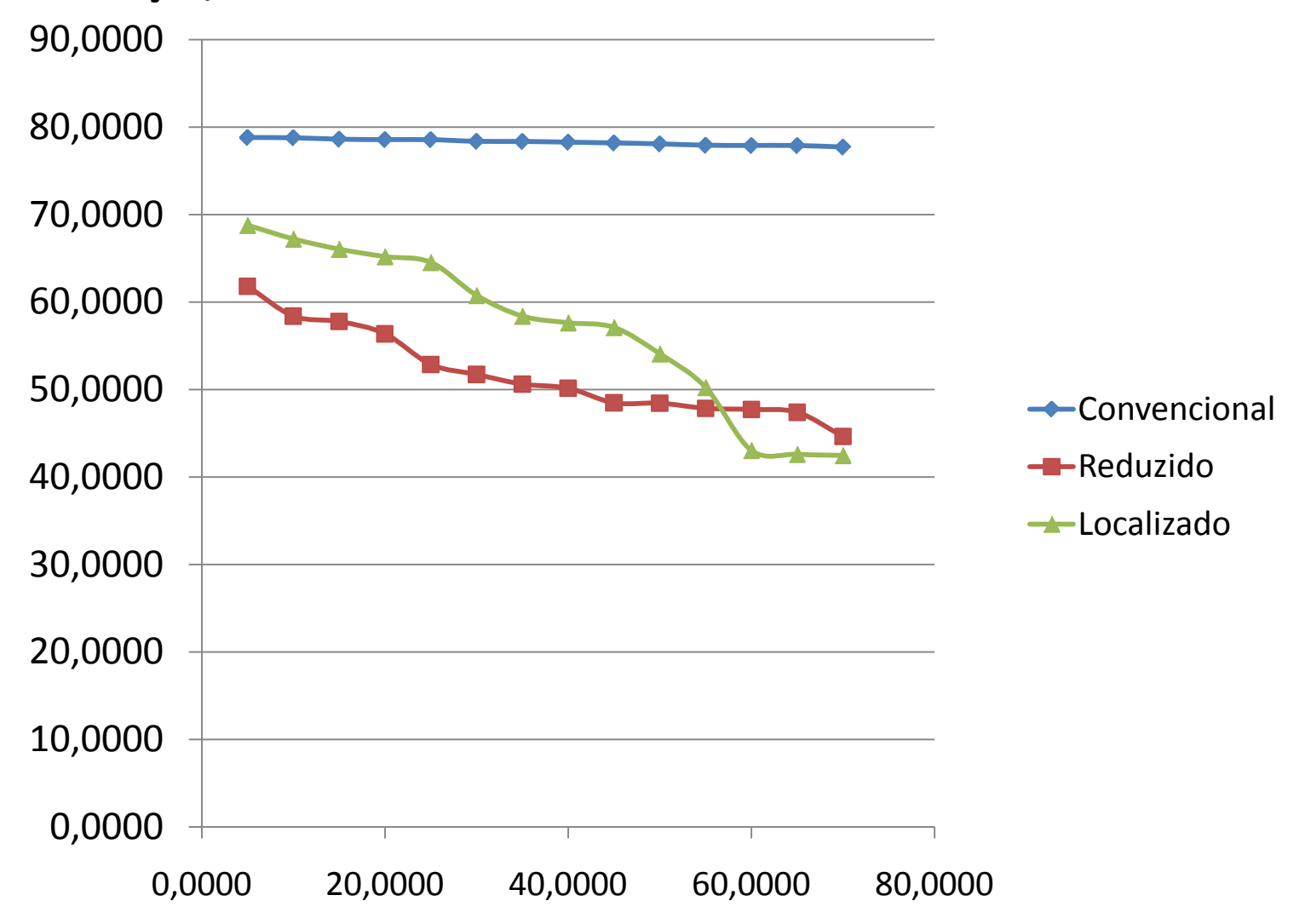
Sistemas de Preparo do Solo







Taxa de infiltração, mm h⁻¹



Tempo, minutos

Latossolo



Preparo do Solo x Erosão

TABELA 2. Teste de médias para erosão (A, t ha⁻¹), concentração de sedimento (C, g L⁻¹), matéria orgânica (MO, kg ha⁻¹) e perda de água (L).

Tratamento	A	С	MO	Água
CC	4,4970a	150,77a	19276,0a	68,179c
RD	0,67671b	3,0336b	3165,8b	662,48b
PL	0,04472b	0,19997c	222,51c	905,75a

CC – Preparo convencional; RD – Preparo reduzido; PL – Preparo localizado do solo. Médias seguidas pela mesma letra não diferem entre si pelo Teste de Duncan a 5%.



OBRIGADO!

www.csme.com.br

mfilho@fcav.unesp.br 16-3209.2680 / 16-3209.2673

GRUPO DE PESQUISA



Caracterização do Solo para Fins de Manejo Específico



